

## مطالعات سیستماتیک ایزوتوپ‌های پایدار گوگرد و سیالات درگیر گروههای رگه‌چهای مختلف کانسار مس پورفیری سرچشم، بر اساس داده‌های جدید

محمد معانی جو<sup>\*</sup>، محمد مستقیمی<sup>۱</sup>، مهدی عبدالهی‌ریسه<sup>۲</sup>، علی اصغر سپاهی‌گرو<sup>۱</sup>

(۱) گروه زمین‌شناسی، دانشگاه بولوی سینا، همدان

(۲) مجتمع معدنی مس سرچشم، شرکت ملی صنایع مس ایران

دریافت مقاله: ۱۳۹۱/۳/۱۶، پذیرش: ۱۳۹۱/۵/۲۵

### چکیده

کانسارسازی در سرچشم، با نفوذ یک استوک گرانودیوریتی به سن میوسن میانی در سنگهای آتشفسانی-رسوبی دارای راندگی و گسل خوردگی مربوط به اوایل ترشیری حادث شده است. این پژوهش بر اساس نمونه‌های حاصل از گمانه‌های تازه حفر شده و نمونه‌های سطحی برداشت شده از پله‌های ۲۵۰۰ متری صورت گرفته است. براساس مطالعات صورت گرفته بر روی کانی‌شناسی و روابط قطع شدگی بین رگه‌چهای، دست کم چهار گروه رگه‌چه برای چهار دوره کانه‌زایی تشخیص داده شده است. آزمایش‌های ایزوتوپی گوگرد در کانسار مس پورفیری سرچشم بر روی پیریت، کالکوپیریت، مولبیدنیت و انیدریت‌های موجود در چهار گروه رگه‌چه موجود در دگرسانیهای مختلف صورت گرفت. مقادیر  $S^{34}$  در سولفیدها و سولفات‌های موجود در رگه‌چه به ترتیب در گسترده ۲/۲ تا ۲/۷ در هزار برای سولفیدها و ۱۰/۲ تا ۱۴/۵ در هزار برای سولفات‌ها قرار می‌گیرد. میانگین  $S^{34}$  در سولفیدهای کانسار مورد مطالعه حدود یک در هزار بوده و برای سولفات‌ها در حدود ۱۳ در هزار می‌باشد. با توجه به نتایج حاصل شده می‌توان نتیجه گرفت که سولفیدها به وسیله سیالی تشکیل شده‌اند که این سیال گوگرد خود را از یک منبع ماقمایی حاصل کرده است. همچنین سیالات درگیر موجود در گروههای رگه‌چهای مختلف مورد مطالعه قرار گرفته است، که این نتایج بیانگر دمای بالا، شوری زیاد و حدوث پدیده جوشش در سیالات کانی‌ساز کانسار سرچشم می‌باشند. از طرفی این مطالعات مؤید حضور سه نوع سیال مشتمل بر سیالات ماقمایی، جوی و اختلاط سیالات ماقمایی و جوی، در فرآیندهای دگرسانی و کانه‌زایی می‌باشند.

واژه‌های کلیدی: کانسار مس پورفیری سرچشم، گروههای رگه‌چهای، سیالات درگیر، ایزوتوپ پایدار گوگرد.

بهره‌برداری گردید [۱]. همچنین عیار مولبیدن در این کانسار ۰/۰۳ درصد [۲] و عیار طلا ۲۷۰ پی‌پی ام [۳] می‌باشد. پژوهش حاضر بر اساس نمونه‌های به دست آمده از حفاری‌های جدید می‌باشد، که بیشتر در قسمت مرکزی معدن حفر شده است و همچنین نمونه‌های برداشت شده از پله‌های ۲۵۰۰ متری یا پله‌هایی که هم اکنون در معدن در حال بهره‌برداری است. در بخش اول این پژوهش هدف، بررسی دقیق پتروگرافی سنگهای موجود در محدوده معدن می‌باشد و در بخش دوم به مطالعه و بررسی سیالات درگیر و ایزوتوپ‌های پایدار گوگرد موجود در گروههای رگه‌چهای مختلف می‌پردازیم. سعی ما بر این بوده که به اهداف زیر دست یابیم: با مطالعه ایزوتوپ‌های پایدار گوگرد به بررسی منشأ گوگرد در سیالات کانه‌ساز کانسار مورد مطالعه بپردازیم و بررسی نماییم

<sup>\*</sup> مسؤول مکاتبات: maanijou@yahoo.com

مقدمه معدن مس پورفیری سرچشم در استان کرمان و در ۶۵ کیلومتری جنوب غربی رفسنجان واقع شده است. طول و عرض جغرافیایی این معدن به ترتیب  $53^{\circ} 55^{\prime}$  شرقی و  $58^{\circ} 29^{\prime}$  شمالی می‌باشد. ارتفاع منطقه از سطح دریا بهطور متوسط به ۲۵۰۰ متر می‌رسد. اکتشافات تفصیلی کانسار مس پورفیری سرچشم در سال ۱۹۶۸ تا سال ۱۹۷۰ توسط شرکت انگلیسی سلکشن تراست آغاز و سپس توسط شرکت امریکایی آناکوندا تا سال ۱۹۷۳ دنبال شد. براساس ۶۶ هزار متر حفاری الماسی و ۱۷,۲۰۰ متر تونل، معدن مس سرچشم به وسعت ۲/۷ کیلومتر مربع، به شکل یک بیضی و با ذخیره کل ۱۲۰۰ میلیون تن کانسنگ مس با عیار ۰/۶۹ درصد به عنوان بزرگترین معدن مس ایران شناخته و آماده

سولفیدی و سولفاتی مورد نظر در کپسول‌های قلع با مقادیر مساوی اکسید تنگستن ( $\text{WO}_3$ ) توزین شدن. استانداردهای کالیبره داخلی برای هر دسته از نمونه‌ها جهت نرمالیزه کردن داده‌ها تهیه می‌شوند. کپسول آماده شده در داخل کاروسل آنالیزور عنصری واریو ای ال قرار داده می‌شوند. یک نمونه به‌طرف بخش بالایی یک ستون از مواد شیمیایی جامد در ۱۰۰۰ درجه سانتی‌گراد رها می‌شود و با افزودن اکسیژن در دمای ۱۸۰۰ درجه سانتی‌گراد به‌طور ناگهانی سوزانده می‌شود. هلیوم کاملاً خالص برای حمل گازهای منتج در ستونهای مواد شیمیایی اکسیدکننده/احیا کننده به‌کار می‌رود تا گازهای  $\text{N}_2$ ,  $\text{CO}_2$ ,  $\text{H}_2\text{O}$  و  $\text{SO}_2$  به‌دست آید. آب با استفاده از پرکلرات منیزیم از سیستم پاک می‌شود. گاز  $\text{SO}_2$  توسط واریو ای ال ۳ جدا می‌شود و سپس توسط هلیوم به طرف طیفسنج جرمی نسبت ایزوتوپی ترموفینیگان دلتاپلاس حمل می‌شود تا اندازه‌گیری گردد و دقت اندازه‌گیری  $\pm 0.2$  در هزار است. نمونه‌های ارسال شده شامل ۶ نمونه پیریت، ۲ نمونه کالکوپیریت، ۱ نمونه مولیبدنیت و ۵ نمونه انیدریت بوده است. همچنین پس از تهیه مقاطع دوبر صیقل، گروههای رگه‌چهای مختلف را مورد مطالعه سیالات درگیر قرار داده‌ایم، تا به این طریق بتوانیم ویژگیهای سیالهای موجود در این گروههای رگه‌چهای را معرفی کرده و در مورد سیالهای به وجود آورنده این رگه‌چهای اطلاعات بیشتری کسب کنیم (در بعضی از نمونه‌ها هم سیالات درگیر و هم ایزوتوپ‌های پایدار آنها مورد بررسی قرار گرفته است). مطالعات میکروترموتری در آزمایشگاه سیالات درگیر شرکت مطالعات و پژوهش آذین زمین پویا با استفاده از یک دستگاه میکروسکپ زایس و به‌وسیله دستگاه TMS94 مدل Linkam THM600 با کنترل کننده حرارتی LNP که بر روی میکروسکپ زایس نصب شده انجام پذیرفت. دقت و صحت استاندارد در محدوده دمایی  $196 \pm 480$  درجه سانتی‌گراد، درجه سانتی‌گراد می‌باشد.

### بحث

زمین‌شناسی منطقه‌ای کانسار مس پورفیری سرچشمۀ بر روی نوار ولکانیکی ایران مرکزی یعنی کمربند آتش‌شانی ارومیه-دختر قرار دارد که این کمربند مهمترین کمربند فلزی ایران است و بر کمربند کوه‌زایی آلب-هیمالیا منطبق است. از آن

که آیا محدوده ایزوتوپی گوگرد در کانیهای سولفیدی و سولفاتی کانسار مس پورفیری سرچشمۀ مشابه دیگر کانسارهای پورفیری در نقاط مختلف جهان می‌باشد؟ همچنین در بخش مطالعه سیالات درگیر گستره دمای همگن شدن، شوری و حضور یا عدم حضور پدیده جوشش در کانسار مس پورفیری سرچشمۀ مورد بررسی قرار گرفته، که هدف از این بررسی، معرفی سیالاتی است که باعث دگرسانی و کانه‌زایی در کانسار مورد مطالعه شده است.

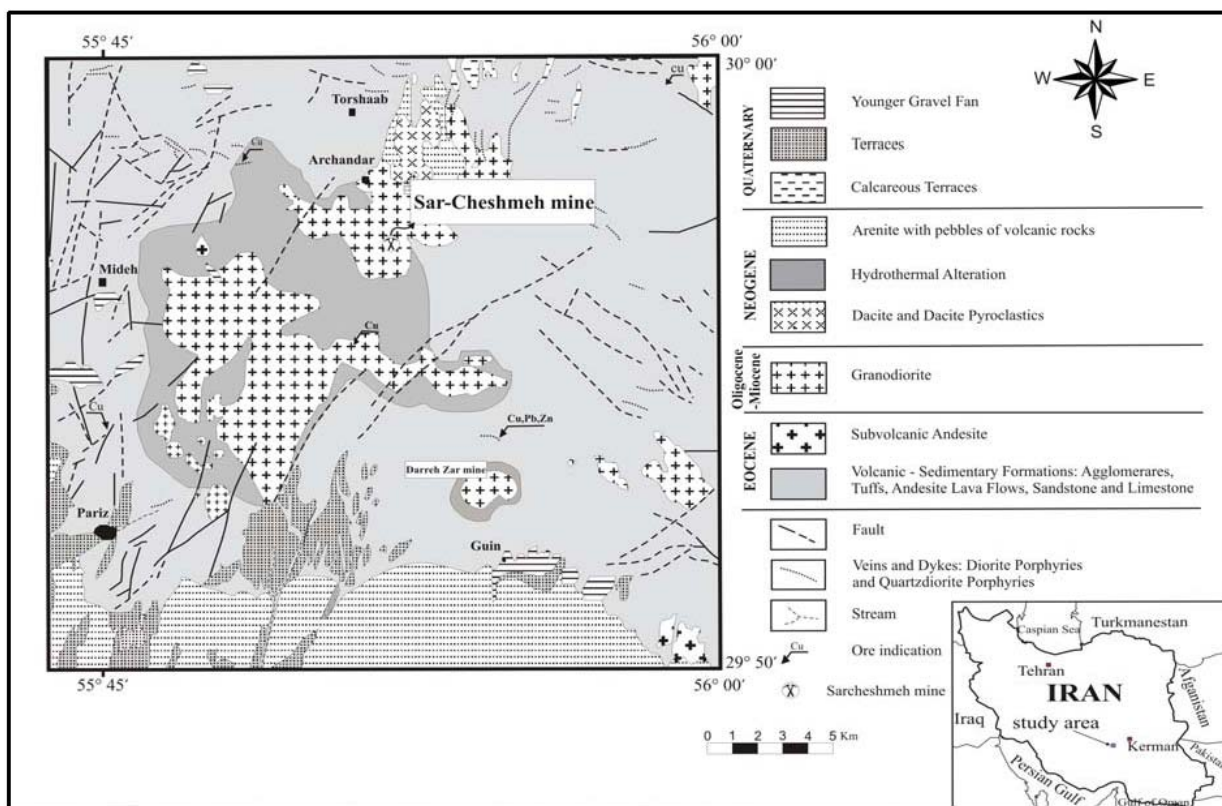
### روش مطالعه و آماده‌سازی نمونه‌ها

کانسار مس پورفیری سرچشمۀ چنان که عنوان شد دارای تنوع رگه‌های زیادی از کانیهای فلزی و سیلیکاتی مختلف است. رخداد همزمان کانیهای سولفیدی- سولفاتی و سولفیدی- سولفیدی باعث شده که بررسی جامعتری بر روی ایزوتوپ‌های گوگرد موجود در رگه‌های مذکور صورت پذیرد. حال با توجه به مطالعات صورت گرفته، نحوه نمونه‌برداری بدین صورت تعیین شد که، ابتدا با مشاهده مغزه‌های حفاری و مطالعه مقاطع نازک و صیقلی از قسمت‌های مختلف معدن مس پورفیری سرچشمۀ، علاوه بر مطالعات پتروگرافی، چهار گروه رگه‌چه معرفی شده توسط هزارخانی [۴] را شناسایی و به تعیین ویژگیهای کانی‌شناسی، سنگ‌شناختی و همچنین دگرسانی آنها پرداختیم. که در این روش مطالعه به‌دلیل اهمیت و کانه‌زایی در گروههای رگه‌چهای مختلف و همچنین با توجه به این که این رگه‌چهای بر حسب ویژگیهای کانه‌زایی و حضور کانیهای سولفیدی در دگرسانیهای مختلف قرار دارند، به بررسی کانیهای سولفیدی موجود در رگه‌های مختلف پرداختیم. سپس برای جدایش کانیهای سولفیدی و سولفاتی ابتدا نمونه‌ها را در هاون خرد کرده و با الک‌کردن، قطعات درشت را جدا و با روش دست چینی با پنس در زیر میکروسکپ دوچشمی، نمونه‌های خالص را جدا کردیم. در این روش جداسازی به‌علت همراهی کانیهای سولفیدی و کوارتز در اکثر رگه‌چهای، جدا کردن کانیهای سولفیدی با مشکلات زیادی همراه بود و نیاز به خرد کردن نمونه‌ها در اندازه‌های مختلف داشت، که در نهایت کانیهای جدا شده بیش از ۹۸ درصد خلوص داشتند. بعد از جداسازی، نمونه‌ها را با هاون آگاتی پودر کرده و در حدود یک گرم از آنها را برای آنالیز به دانشگاه اوتاوا، آزمایشگاه ایزوتوپی جی.جی. هچ در کشور کانادا ارسال کردیم، در این آزمایشگاه کانیهای

### پتروگرافی کانسار

براساس تحقیقات صورت گرفته در معدن مس پورفیری سرچشم، هفت نوع سنگ وجود دارد که شامل استوک پورفیری سرچشم و پورفیری دانه‌ریز تأخیری، ولکانیک‌های آندزیتی و دایک‌های هورنبلند پورفیری پیشین، هورنبلند پورفیری پسین، فلدسپار پورفیری و بیوتیت پورفیری می‌باشد [۱]. آندزیت‌های اؤسن که سنگ دیواره معدن را تشکیل می‌دهند، قسمت عمده سنگ‌های آتشفسانی منطقه را شامل می‌شوند و با نفوذ استوک پورفیری سرچشم می‌باشد. میانی [۷] در این آندزیت‌ها، حدود نیمی از کانسارسازی مس به‌وقوع پیوسته است و در واقع سنگ میزبان معدن به حساب می‌آیند. این تیپ سنگ بیشتر از آندزیت و ریولیت تشکیل شده است، که بافت پورفیریک با خمیره میکرولیتیک در آندزیت‌ها و پورفیریک با خمیره میکروگرانولار در ریولیت‌ها به وضوح قابل مشاهده است. کانی اصلی در آندزیت‌ها صرفاً پلاژیوکلاز است، که اندازه این فنوكریست‌ها بین  $۰/۵$  تا  $۲$  میلی‌متر بوده و بیش از  $۶۵$  درصد حجمی سنگ را تشکیل می‌دهند، در صورتی که در ریولیت‌ها و سنگ‌های مشابه آن علاوه بر پلاژیوکلاز، آلکالی فلدسپار، بیوتیت، آمفیبول و کوارتز نیز حضور دارند، لذا اندازه پلاژیوکلاز در این سنگ‌ها به طور میانگین  $۳$  میلی‌متر بوده و به لحاظ حجمی  $۲۰$  درصد حجم سنگ را تشکیل می‌دهند، همچنین آلکالی فلدسپار و کوارتز به ترتیب دارای اندازه‌های حداقل  $۱$  میلی‌متر و  $۰/۵$  تا  $۱$  میلی‌متر بوده و به ترتیب بیش از  $۳۰$  درصد و  $۱۵$  درصد حجم سنگ را به خود اختصاص می‌دهند و زمینه سنگ را شیشه شامل می‌شود. کانیهای فرعی موجود در آنها عبارتند از: کلریت، مسکویت، کلسیت، سرسیت و کانیهای اپاک. خمیره در آندزیت‌ها از میکرولیت پلاژیوکلاز و مقدار کمی شیشه تشکیل یافته و ریولیت‌ها و جنسهای دیگر، پلاژیوکلاز، کوارتز و آلکالی فلدسپار میکروگرانولار به صورت خمیره در زمینه سنگ دیده می‌شوند. کانیهای ثانویه این تیپ از سنگ‌ها شامل رس، کلریت، سرسیت، کلسیت و اپیدوت است، که حضور این کانیهای را می‌توان با تأثیر دگرسانی پروپیلیتیک و آرژیلیک به خوبی توجیه کرد (شکل ۲ الف، ب).

جایی که کمریند ارومیه- دختر نتیجه فرورانش پوسته اقیانوسی نئوتیس به زیر پوسته قاره‌ای ایران مرکزی است [۵]، همانند سایر کانسارهای ماغمایی حاشیه قاره، مانند آند و کردنیلا میزبان کانسارهای مس- مولیبدن پورفیری همراه با دیگر کانسارهای وابسته به این خاستگاه ژئودینامیکی می‌باشد. این فرورانش و برخورد قاره‌ای از کرتاسه تا ترکیش ادامه داشته و از پالئوسن تا الیگوسن باعث افزایش فعالیت آذرین پلوتونیک و آتشفسانی کالک‌آلکالن و آلکالن در این کمریند شده است [۶، ۷]. همچنین در طول زمان میوسن یک استوک کالک‌آلکالن پورفیری در منطقه سرچشم نفوذ کرده است [۸]. فاز اصلی نفوذی و مولد کانسارسازی در منطقه سرچشم همان استوک کالک‌آلکالن و با ترکیب گرانوپوریت و به سن میوسن میانی می‌باشد [۷]. که این استوک عامل اصلی کانه‌زایی در سرچشم تلقی می‌شود. زمین‌شناسی منطقه شامل مجموعه‌ای آتشفسانی- رسوبی به سن اؤسن است، که یکی از جالب‌ترین ساختارهای زمین‌شناسی در ناحیه کرمان است. استوک سرچشم پورفیری در این سنگ‌های آتشفسانی- رسوبی نفوذ کرده و آنها را تحت تأثیر دگرسانی قرار داده است. لذا قدیمترین واحدهای سنگی محدوده معدن سنگ‌های آتشفسانی اؤسن هستند [۹، ۱۰] و عمدهاً ترکیب آندزیتی دارند، که همراهی آنها با رسوبات این دوره نشان‌دهنده یک محیط آتشفسانی- رسوبی زیردریایی در آن زمان می‌باشد [۶، ۷]. در نتیجه قسمت اعظم این مجموعه از سنگ‌های مختلف با منشاء آتشفسانی تشکیل شده است و سنگ‌های قدیمی‌تر در منطقه مورد مطالعه که پایه این تشکیلات را به وجود آورده‌اند، رخمنون ندارند و به همین دلیل بیشتر سازندهای مورد بررسی مربوط به ترشیری و بعد از آن می‌باشند. سنگ‌های نفوذی و نیمه عمیق و همچنین دایک‌ها، این مجموعه را در بسیاری از نقاط قطع کرده‌اند و به دلیل نبود فسیل در منطقه مورد مطالعه، سن مجموعه از روی ارتباط سنگ- شناسی و مقایسه با سازندهای مشابه در نواحی دیگر تخمین زده شده است. با این روش سن مجموعه را اؤسن بالایی در نظر گرفته‌اند و همچنین نهشت‌های رسوبی دوران سوم و چهارم در منطقه گسترش قابل ملاحظه‌ای دارند (شکل ۱).



شکل ۱. نقشه زمین‌شناسی منطقه سرچشم [۳۲].

هورنبلند نیز به مقدار خیلی کم در سنگ وجود دارد و دارای اندازه‌های  $1/5$  تا  $1/1$  میلی‌متر می‌باشد. کانیهای فرعی موجود در این دو نوع سنگ شامل کلریت، مسکویت، کلسیت، سرسیت و کانیهای اپاک است. خمیره این سنگها شامل پلاژیوکلаз، کوارتز و آلکالی فلدوپار میکروگرانولار است. کانیهای ثانویه شامل رس، کلریت، سرسیت، کلسیت و مسکویت می‌باشد. عمدۀ دگرسانی مشاهده شده در این سنگ‌ها، دگرسانی فیلیک است (شکل ۲ پ، ت). در مراحل میانی دگرسانی و کانه‌زایی، توده نیمه مینرالیزه پورفیری دانه‌ریز تأخیری در قسمت مرکزی و شرقی معدن و در سنگ‌های قدیمی‌تر نفوذ کرده است و به ویژه در قسمت شمال شرقی ناحیه معدن باعث کاهش عیار و حتی قطع شدن کانه‌زایی مس-مولیبден گردیده است. این استوک به عنوان استوک دوم در سرچشمۀ شناخته می‌شود و اندازه آن از استوک پورفیری سرچشمۀ کوچکتر است و عمدتاً ترکیب سنگ‌شناسی آن ریوداسیت می‌باشد. بافت آن پورفیریک با خمیره میکروگرانولار و به مقدار خیلی کم کاتاکلاستی است. کانیهای اصلی آن عمدتاً شامل پلاژیوکلاز و کوارتز و آلکالی فلدوپار بوده و بیوتیت و آمفیبول به مقدار کم در آن دیده

استوک پورفیری سرچشمۀ دارای ترکیب سنگ‌شناسی، گرانودیوریت تا تونالیت است. این سنگها غالباً دارای بافت پورفیریک با خمیره میکروگرانولار هستند، به جز گرانودیوریت که دارای بافت کاتاکلاستی است. کانیهای اصلی تشکیل‌دهنده گرانودیوریت‌ها عبارتند از: پلاژیوکلاز، آلکالی فلدوپار، کوارتز، هورنبلند و بیوتیت. پلاژیوکلاز کانی اصلی در گرانودیوریت‌ها بوده و حدود ۴۰ تا ۵۰ درصد حجمی سنگ را به خود اختصاص می‌دهد و اندازه آنها بین  $0/5$  تا  $5$  میلی‌متر است. همچنین آلکالی فلدوپارها ۱۰ تا ۱۵ درصد حجمی سنگ را تشکیل داده و متوسط اندازه آنها  $0/1$  تا  $10$  میلی‌متر می‌باشد، در صورتی که کانیهای کوارتز به لحاظ حجمی  $23$  تا  $30$  درصد حجمی نمونه‌ها را به خود اختصاص داده و اندازه میانگین آنها به  $2$  میلی‌متر می‌رسد. کانیهای اصلی تشکیل‌دهنده تونالیت‌ها عبارتند از: پلاژیوکلاز، کوارتز، هورنبلند و بیوتیت. پلاژیوکلاز حدود ۶۵ درصد حجم سنگ را به خود اختصاص داده و اندازه بلورهای آن حدود  $1$  تا  $2$  میلی‌متر است. همچنین بلورهای کوارتز به لحاظ حجمی  $25$  تا  $30$  درصد حجم سنگ را تشکیل می‌دهد و از نظر اندازه بلوری، اندازه‌ای حدود  $0/2$  تا  $1$  میلی‌متر دارد. بیوتیت و

(شامل هورنبلند و ....) حدود ۱۵ درصد حجم سنگ را به خود اختصاص می‌دهند. کانیهای اصلی موجود در ریوداسیت‌ها نیز شامل پلاژیوکلاز، کوارتز، آلکالی فلدسپار، بیوتیت و آمفیبیول است، به طوری که پلاژیوکلاز حدود ۲۰ تا ۲۵ درصد با اندازه بلوری ۲ تا ۳ میلی‌متر، کوارتز ۲۰ تا ۲۵ درصد با اندازه بلوری ۱ میلی‌متر و آلکالی فلدسپار ۴۰ تا ۴۵ درصد حجم حدود ۱ با اندازه بلوری ۲ تا ۳ میلی‌متر تشکیل می‌دهد. کانیهای فرعی موجود در این تیپ از سنگها شامل کلریت، کلسیت، مسکویت و سرسیت است. خمیره آنها شامل پلاژیوکلاز، کوارتز و آلکالی فلدسپار است. کانیهای ثانویه موجود در آنها عبارت است از: کلریت، سرسیت، کلسیت، مسکویت و اپیدوت. عمدۀ دگرسانیهای مشاهده شده در این دایک‌ها، دگرسانی فیلیک بوده و به مقدار خیلی کم دگرسانی پتاسیک قابل مشاهده است (شکل ۲ ج، ح). عمدۀ سنگهای تشکیل‌دهنده دایک بیوتیت پورفیری صرفاً آندزیت بوده و در غالب موارد دارای بافت پورفیریک با خمیره میکرو‌لیتیک تا میکروگرانولار می‌باشند. کانیهای اصلی آنها شامل پلاژیوکلاز، بیوتیت و آمفیبیول می‌باشد، به طوری که پلاژیوکلاز بیش از ۶۵ درصد حجم سنگ را به خود اختصاص می‌دهد و اندازه بلورهای آن ۲ تا ۵ میلی‌متر است. کانیهای فرعی آن عمدتاً شامل آپاتیت و کلسیت است. این سنگها دارای خمیره پلاژیوکلاز، کوارتز و شیشه‌اند. کانیهای ثانویه موجود در آنها شامل رس، کلریت، سرسیت، کلسیت و کانیهای اپاک می‌باشد. عمدۀ دگرسانی قابل مشاهده در این دایک‌ها دگرسانی فیلیک بوده و در مواردی در قسمت شمالی معدن دگرسانی آرژیلیک نیز در آنها دیده می‌شود (شکل ۲ خ، د). همچنین عمدۀ سنگهای موجود در دایک فلدسپار پورفیری از جنس آندزیت می‌باشد. بافت غالب موجود در آنها پورفیریک با خمیره میکرو‌لیتیک تا میکروگرانولار بوده و کانیهای اصلی موجود در آنها شامل پلاژیوکلاز، بیوتیت و آمفیبیول است. لذا پلاژیوکلاز بیش از ۶۵ درصد حجم سنگ را به خود اختصاص داده و اندازه بلورهای آن ۳ تا ۵ میلی‌متر می‌باشد. عمدۀ کانیهای فرعی آنها کانیهای اپاک بوده و خمیره آنها از پلاژیوکلاز، کوارتز و آلکالی فلدسپار تشکیل یافته است. همچنین کانیهای ثانویه آنها شامل رس، کلریت، سرسیت، کلسیت، مسکویت و اپیدوت می‌باشد (شکل ۲ ذ، ر).

می‌شود. پلاژیوکلاز حدود ۳۵ تا ۴۰ درصد حجم سنگ را تشکیل داده و اندازه بلورهای آن حدود ۳ میلی‌متر است. کوارتز و آلکالی فلدسپار نیز به ترتیب حدود ۲۵ تا ۳۰ درصد و ۲۰ تا ۲۵ درصد حجم سنگ را به خود اختصاص می‌دهند و اندازه بلورهای آنها نیز به ترتیب ۱ تا ۲ میلی‌متر و ۱ تا ۳ میلی‌متر است. بیوتیت نیز با فراوانی کمتر از ۵ درصد و اندازه ۱ میلی‌متر در متن سنگ قبل مشاهده است. کانیهای حدود ۱ میلی‌متر در هاله‌ای بیوتیتی بین دگرسانی پتاسیک و فیلیک شده است. عمدۀ دگرسانی مشاهده شده در این سنگها دگرسانی فیلیک یا سرسیتی می‌باشد. حضور میانبارهایی از استوک پورفیری سرچشمۀ آندزیت، رگه‌های کوارتز با کانی‌سازی کم، همچنین شکستگیها و رگه‌چههای خیلی کم و از طرفی فراوان بودن فنوکریستهای شکل‌دار تا نیمه شکل‌دار هورنبلند از ویژگیهای این استوک می‌باشند (شکل ۲ ث، ج). با نفوذ استوک پورفیری سرچشمۀ دایک‌هایی همزمان با کانه‌زایی و بعد از آن، با یک روند شمال- شمال‌غربی و جنوب- جنوب‌شرقی در سنگهای قدیمی‌تر منطقه از جمله سنگهای آندزیتی، استوک پورفیری سرچشمۀ و پورفیری دانه‌ریز تأخیری نفوذ کرده و آنها را قطع کرده‌اند و در نتیجه این رخداد شکستگی، جابه‌جایی و قطع شدگی کانه‌زایی در قسمتهای مختلفی از استوک حادث شده است [۶]. از میان دایک‌های مذکور دایک هورنبلند پورفیری پیشین که نسبتاً مینرالیزه است، به طور خیلی ضعیف دارای کانه‌زایی بوده و بقیه دایک‌ها غیر مینرالیزه هستند و دارای کانه‌زایی نمی‌باشند، لذا به طور کلی می‌توان گفت که دایک‌های موجود در منطقه، فاقد کانه‌زایی‌اند. عمدۀ سنگهای موجود در این دایک هم در دایک هورنبلند پورفیری پیشین و هم پسین، ریوداسیت و آندزیت می‌باشد. بافت غالب در آنها پورفیریک با خمیره میکرو‌لیتیک تا میکروگرانولار و به مقدار کم شیشه‌ای است. کانیهای اصلی در آندزیتها شامل پلاژیوکلاز، کوارتز، بیوتیت و آمفیبیول است، به طوری که پلاژیوکلاز و کوارتز به ترتیب ۶۵ تا ۷۰ درصد و ۵ تا ۱۰ درصد و کانیهای تیره نیز



شکل ۲. تصاویر مربوط به گروههای سنگی مختلف در کانسار مس پورفیری سرچشمہ با تأکید بر گروههای سنگی موجود در پله‌های ۲۶۰۰ متری.  
 الف و ب، آندزیت‌های موجود در منطقه که به عنوان سنگ میزبان شناخته می‌شوند با بافت پورفیریک و خمیره میکرولیتیک (قطع Sar 126)  
 - پ و ت، استوک پورفیری سرچشمہ با ترکیب سنگ‌شناسی، گرانودیوریت تا تونالیت، با بافت پورفیریک و خمیره میکروگرانولار (قطع Sar 101)  
 - ث و ج، دایک بیوتیت پورفیری با ترکیب سنگ‌شناسی آندزیت و بافت پورفیریک با یک خمیره میکرولیتیک تا میکروگرانولار (قطع Sar 120)  
 - ج و ح، دایک‌های هورنبلند پورفیری با ترکیب سنگ‌شناسی ریوداسیت و آندزیت، با بافت غالب پورفیریک و خمیره‌ای میکرولیتیک تا میکروگرانولار  
 و به مقدار کم شیشه‌ای (قطع Sar 106) - خ و د، دایک فلدسپار پورفیری با ترکیب سنگ‌شناسی به جنس آندزیت، با بافت غالب پورفیریک و  
 خمیره‌ای میکرولیتیک تا میکروگرانولار (قطع Sar 150) - ذ و ر: استوک لیتفاین پورفیری با ترکیب سنگ‌شناسی ریوداسیت، بافت آن  
 پورفیریک و دارای خمیره میکروگرانولار و به مقدار خیلی کم کاتاکلاستی می‌باشد (قطع Sar 104). (Pl: پلازیوکلاز، Ca: کلسیت، Qz:  
 کوارتز، Ser: سرسیت، Bt: بیوتیت، Hbl: هورنبلند، Bio: بیوتیت ثانویه).

خوب و نبود فلدسپار پتاسیم از مشخصه‌های بارز این گروه از رگه‌چه است. مقدار مولیبدن در این رگه‌چه‌ها ناچیز است و از طرفی نسبت کالکوپیریت و پیریت در این رگه‌چه‌ها افزایش می‌باشد. عمدتاً در قسمتهای بالایی استوک پورفیری سرچشم مه قابل مشاهده‌اند (شکل ۳ ب).

ج) رگه‌چه‌های گروه سه، دارای ضخامتی متغیر بین ۹ تا ۴۲ میلی‌متر هستند و در زون دگرسانی فیلیک بیشترین فراوانی را داشته و عمدتاً در استوک پورفیری سرچشم مشاهده می‌شوند و هزارخانی [۴] معتقد است که این رگه‌چه‌ها با رگه‌چه‌های گروه دو دارای یک منبع مشترک هستند و احتمالاً به واسطه بازشدن دوباره رگه‌چه‌های گروه دو تشکیل شده‌اند (شکل ۳ پ).

د) رگه‌چه‌های گروه چهار نیز، ضخامتی متغیر دارند و جوانترین رگه‌چه‌های تشکیل شده در استوک پورفیری سرچشم می‌باشند. پیریت تنها کانی سولفیدی موجود در این گروه از رگه‌چه‌ها می‌باشد. همچنین رگه‌چه‌های مذکور اساساً در زون دگرسانی پروپیلیتیک حادث شده‌اند (شکل ۳ ت).

با توجه به مطالعات کانه‌نگاری و کانی‌شناسی انجام شده بر روی گروههای رگه‌چه‌ای موجود در دگرسانیهای مختلف کانسار مس پورفیری سرچشم، توالی پاراژنزی این گروههای رگه‌چه‌ای در شکل (۴) ارائه شده است. در خصوص توالی پاراژنزی در گروههای رگه‌چه‌ای مختلف کانسار سرچشم می‌توان عنوان کرد که رگه‌چه‌های گروه یک در کانسار مورد مطالعه عمدتاً در طی مرحله کانه‌زایی اولیه حادث شده‌اند، همچنین با توجه به شواهد کانی‌شناسی (از جمله حضور کانیهای معرف این دگرسانی)، در این مرحله، دگرسانی پتاسیک بر روی استوک پورفیری سرچشم انجام گرفته است، در صورتی که رگه‌چه‌های گروه دو و سه عمدتاً در مرحله کانه‌زایی گذری و مرحله کانه‌زایی پسین ایجاد شده‌اند و در طی این مراحل دگرسانی فیلیک رخ داده و حتی در بعضی از قسمتها بر روی دگرسانی پتاسیک نیز تأثیر گذاشته است. در نهایت رگه‌چه‌های گروه چهار در مرحله بعد از کانه‌زایی و در اثر تأثیر فرآیندهای بعدی بر روی کانسار به وجود آمده‌اند، در این مرحله مقدار زیادی کلسیت در رگه‌چه‌های گروه چهار ایجاد شده است.

مطالعات نشان می‌دهند که هیچ‌گونه شاهدی مبني بر دگرگونی مجاورتی در محل تماس دایک‌ها با سنگهای درون‌گیر وجود ندارند. بنابراین این فرضیه که در هنگام نفوذ دایک‌ها به سنگ میزبان، کل مجموعه از حرارت زیادی برخوردار بوده و مانع وقوع دگرگونی مجاورتی در محل کن tact شده است، قوت می‌گیرد. دایک‌ها به ترتیب کاهش سن عبارتند از [۷]:

- (۱) دایک هورنبلند پورفیری پیشین (۲) دایک هورنبلند پورفیری پسین (۳) دایک بیوتیت پورفیری (۴) دایک فلدوکسپار پورفیری.

#### معرفی و طبقه‌بندی رگه‌چه‌ها در کانسار

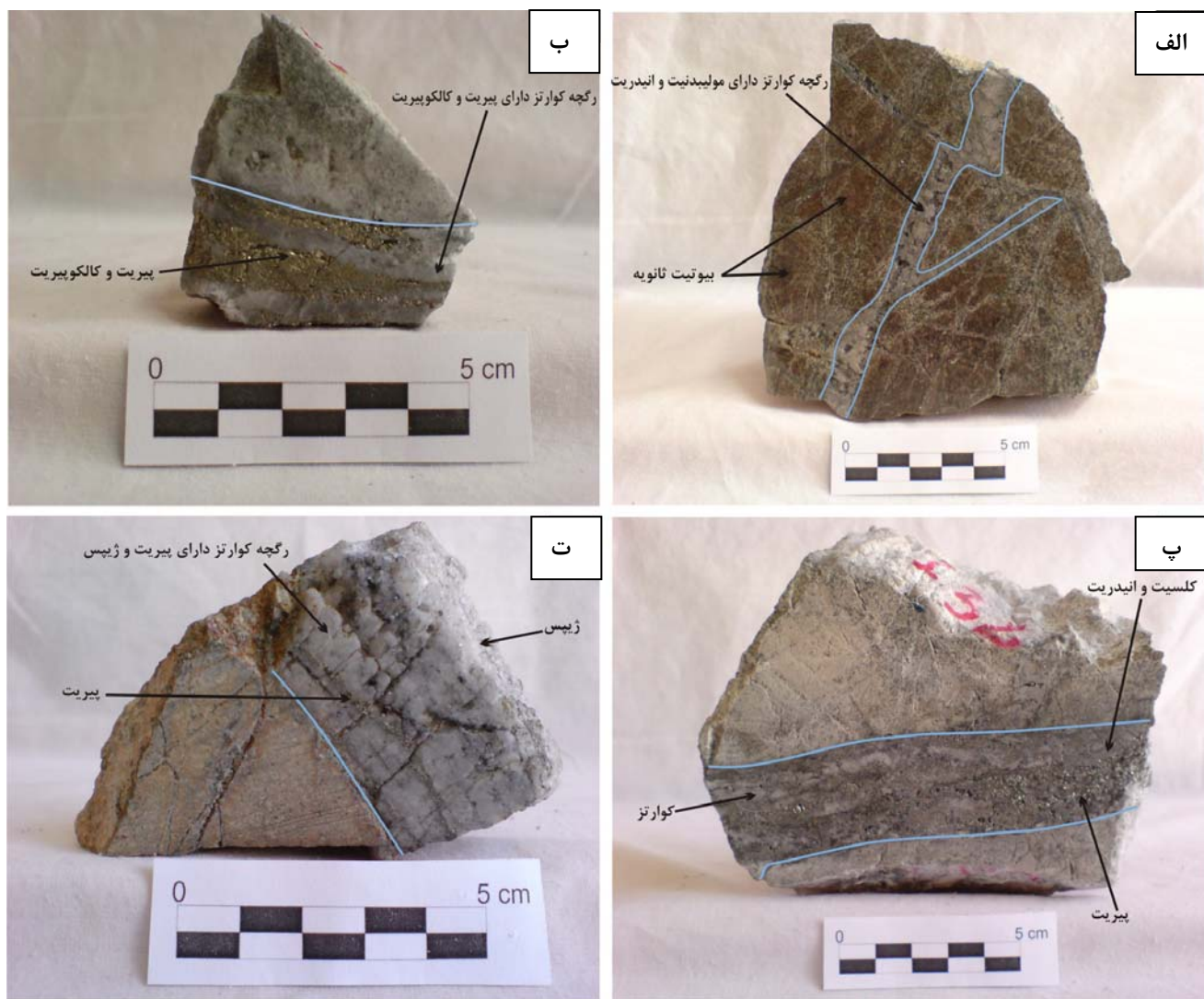
براساس مطالعات صورت گرفته بر روی کانی‌شناسی و روابط قطع شدگی بین رگه‌چه‌ها، حداقل چهار گروه رگه‌چه برای چهار دوره کانه‌زایی تشخیص داده شده است، که عبارتند از [۴]:

- گروه (۱) کوارتز + مولیبدنیت + انیدریت ± فلدوکسپار پتاسیم با مقداری پیریت، کالکوپیریت و بورنیت
- گروه (۲) کوارتز + کالکوپیریت + پیریت ± مولیبدنیت
- گروه (۳) کوارتز + پیریت + کلسیت ± انیدریت ± کالکوپیریت ± ژیپس ± مولیبدنیت
- گروه (۴) کوارتز ± کلسیت ± ژیپس ± پیریت (شکل ۳).

این گروههای رگه‌چه‌ای در دگرسانیها و گروههای سنگی مختلف قابل مشاهده‌اند، اما دارای فراوانی و توزیع متفاوتی می‌باشند. در زیر به توضیحی مختصر در مورد رگه‌چه‌های مذکور می‌پردازیم:

الف) رگه‌چه‌های گروه یک، دارای ضخامتی متغیر، بین ۱۰/۰ تا ۱۲ میلی‌متر می‌باشند. کوارتز بیش از ۹۵ تا ۷۰ درصد حجم رگه‌چه‌ها را تشکیل می‌دهد و این رگه‌چه‌ها، عمدتاً در طول شکستگیهای اولیه استوک پورفیری سرچشم و پورفیری دانه‌ریز تأخیری حضور داشته و توسط هاله‌های دگرسانی پتاسیک احاطه شده‌اند (شکل ۳ الف).

ب) رگه‌چه‌های گروه دو، ضخامتی متغیر بین ۹ تا ۵۰ میلی‌متر داشته و در همه زون‌های دگرسانی دیده می‌شوند، ولی به طور عمده در زون دگرسانی پتاسیک و فیلیک تمرکز دارند. لذا هاله‌های دگرسانی سرسیتی با گسترش یافتنگی



شکل ۳. تصاویر مربوط به گرههای موجود در دگرسانیهای مختلف کانسار مس پورفیری سرچشممه: (الف) نمونه‌ای از رگههای گروه یک، که مقدار زیادی کوارتز و مولیبدنیت در حاشیه آنها و انیدریت و کانیهای سولفیدی در مرکز متتمرکز شده‌اند. (ب) نمونه‌ای از رگههای گروه دو، که مقدار مولیبدنیت در این رگههای ناچیز بوده و عمدتاً حاوی پیریت و کالکوبیریت می‌باشند، در این نوع رگههای کوارتز دارای بجهت یافته‌گی عمود بر دیوارهای از خود نشان می‌دهد (پ) نمونه‌ای از رگههای رگههای قرار داشته و بیشتر حجم این رگههای توسط کانیهای سولفیدی، انیدریت و کلسیت پر شده است. (ت) نمونه‌ای از رگههای گروه چهار: در این نوع از رگههای کوارتز بسیار زیاد بوده و پیریت تنها کانی سولفیدی موجود در آنهاست.

آنها عموماً بین ۷۰۰ تا ۲۰۰ درجه سانتی‌گراد و شوری آنها ۰ تا ۷۰ درصد وزنی معادل نمک طعام است [۱۲]. همچنین در این تیپ از کانسارها عمل جوشش در سیالات کانی‌ساز اتفاق افتاده است، در نتیجه با توجه به این که کانسارهای تیپ پورفیری دارای دمای همگن‌شدن بالا، شوری بسیار زیاد و رخداد عمل جوشش در سیالات کانی‌ساز خود می‌باشند، در این بخش به بررسی این عوامل در کانسار مورد مطالعه می‌پردازیم.

**مطالعه سیالات درگیر**  
بودن [۱۱] معتقد است که سیالات و احتمالاً اغلب فلزات مورد نیاز برای تشکیل کانسارهای پورفیری از یک توده نفوذی که غالباً در زیر کانسار حضور دارد، منشأ می‌گیرد. نقش سیالات جوی فرورو بیشتر در سردکردن و رقیق کردن محلولهای ماقمایی و نهشت موادمعدنی است. اطلاعات زیادی در مورد ویژگیهای سیالات درگیر و دمای همگن‌شدن این تیپ کانسارها ارائه شده است، بهطوری که دمای همگن‌شدن



شکل ۴. توالی پاراژنزی مربوط به گروههای رگهچه‌ای موجود در دگرسانیهای مختلف کانسار مس پورفیری سرچشممه.

دگرسانیهای مختلف قابل مشاهده‌اند، اما مقدار فاز مایع آنها در رگهچه‌های کوارتز گروه دو، که در دگرسانی فیلیک کانسار قابل مشاهده‌اند، بیش از رگهچه‌های دیگر است، از طرفی حبابهای بخار موجود در آنها به لحاظ اندازه متغیرند و به لحاظ حجمی ۱۵ تا ۴۰ درصد سیالات درگیر را شامل می‌شوند. این سیالات درگیر به مایع هموژن شده‌اند. میانگین دمای همگن‌شدن و درصد شوری در این نوع از سیالات درگیر به ترتیب  $276/5$  درجه سانتی‌گراد و  $5/4$  درصد وزنی معادل نمک طعام می‌باشد. سیالات درگیر نوع (VL): سیالات درگیری که شامل فازهای بخار + مایع بوده و فاز بخار موجود در این سیالهای بین ۶۰ تا ۷۵ درصد است و همگی به صورت اولیه تشکیل شده‌اند. این نوع از سیالات درگیر در تمامی گروههای رگهچه‌ای دیده می‌شوند، اما عمدتاً در رگهچه‌های گروه یک، که از دگرسانی پتاسیک کانسار حاصل شده‌اند، فراوانی بیشتری دارند. این سیالات درگیر عمدتاً به گاز هموژن

در مطالعه مربوط به سیالات درگیر به علت اهمیت گروههای رگهچه‌ای مختلف، به بررسی سیالات موجود در آنها پرداخته‌ایم. این سیالات به لحاظ اندازه متغیر هستند و اندازه‌ای بین ۵ تا ۲۸ میکرون دارند. سیالات درگیر موجود در رگهچه‌های مذکور از لحاظ شکل ظاهری به انواع ذیل قابل تقسیم‌بندی می‌باشند: ۱) سیالات درگیر دارای شکل نامنظم ۲) سیالات درگیر با شکل کریستال منفی ۳) سیالات درگیر دارای شکل منظم ۴) سیالات درگیر کشیده و باریک. در نتیجه بر اساس مقدار، طبیعت و نسبتهای فازی در دمای اتاق عمدتاً سه نوع سیال در این رگهچه‌ها شناخته شده‌اند که عبارتنداز: سیالات درگیر نوع (LV): سیالات درگیری که شامل فازهای مایع + بخار می‌باشند. بیشتر حجم این سیالهای را مایع تشکیل می‌دهد، به طوری که درصد فاز مایع موجود در آنها بین ۶۰ تا ۸۵ درصد است و همگی به صورت اولیه تشکیل شده‌اند. این نوع از سیالات درگیر در گروههای رگهچه‌ای و

ایندریت و هماتیت می‌باشند، که هماتیت با رنگ قرمز آن و ایندریت به وسیله شکل منشوری و همچنین شفاف بودن رنگ آن قابل شناسایی است. میانگین دمای همگن‌شدن و درصد شوری در این نوع از سیالات درگیر به ترتیب  $377/6$  درجه سانتی‌گراد و  $6/6$  درصد وزنی معادل نمک طعام است. این نوع از سیالات درگیر در رگه‌چهای گروه سه، که در دگرسانی فلیک کانسار مذکور فراوانی بیشتری دارند، بیش از بقیه رگه‌چهای قابل مشاهده‌اند و به لحاظ دمای همگن‌شدن و شوری تفاوت چندانی ندارند.

### میکروترموتری

مطالعات میکروترموتری شامل دو بخش گرم‌کردن و سردکردن است. مرحله اول برای به دست آوردن دمای همگن‌شدن یا دمای کانه‌زایی است که در این مرحله سیال درگیر آن قدر حرارت داده می‌شود تا همه فازهای آن به یک فاز اصلی همگن شود که به آن دمای همگن‌شدن (Th) گفته می‌شود. در آزمایش انجماد، سیال درگیر سرد می‌شود تا فاز مایع آن به فاز جامد تبدیل شود. پس از سردکردن، دوباره نمونه گرم می‌شود تا جایی که آخرین بلور یخ ذوب شود. دمایی که در آن آخرین بلور یخ ذوب می‌شود، به دمای ذوب آخرین قطعه یخ (Tm) معروف است که این عمل را برای غلبه بر مقاومت ذاتی محلول در مقابل انجماد انجام می‌دهند. با استفاده از دمای ذوب یخ می‌توان به میزان شوری سیال پی برد، لذا برای محاسبه شوری می‌توان از نمودارهای مختلف همانند نمودار رودر<sup>1</sup> که دیاگرام دوتایی سیستم  $H_2O-NaCl$  است استفاده نمود [۱۳]. همچنین جداول مخصوص تنظیم شده در این زمینه که ارتباط بین کاهش نقطه انجماد و درصد نمک طعام را نشان می‌دهند نیز قابل استفاده است. لذا در نمونه‌های سیال مورد مطالعه درصد شوری با استفاده از جداول و فرمول‌های ارائه شده توسط بودنر و ویتیک<sup>2</sup> [۱۴] محاسبه شده است، که این نمودارها و فرمول‌ها بر اساس دمای ذوب یخ و دمای ذوب هالیت تنظیم شده‌اند. در این مطالعه نیز، نمونه‌ها تا حدود  $500$  درجه سانتی‌گراد گرم شدن و عمدهاً سیالات طی گرم‌کردن به فاز مایع و در مواردی به فاز گاز همگن شدند (جدول ۱).

1: Roedder

2: Bodnar and Vityk

شده‌اند. میانگین دمای همگن‌شدن و درصد شوری در این نوع از سیالات درگیر به ترتیب  $370/5$  درجه سانتی‌گراد و  $8/03$  درصد وزنی معادل نمک طعام می‌باشد. سیالات درگیر نوع (LVHS): سیالات درگیر که یا شامل فاز مایع + بخار + هالیت هستند و یا شامل فاز مایع + بخار + کانیهای اپاک می‌باشند. در این نوع از سیالات درگیر، هالیت و کانیهای اپاک دارای نسبتها فازی ثابتی هستند و به عنوان کانیهای دختر شناخته می‌شوند و حبابهای بخار حدود  $20$  تا  $40$  درصد حجمی سیالات درگیر را به خود اختصاص می‌دهند. این نوع از سیالات درگیر به دو نوع زیر قابل تقسیم‌بندی هستند:

(الف) سیالات درگیر نوع (LVH): این نوع از سیالات درگیر دارای فاز مایع + بخار + هالیت می‌باشد. حجم فاز مایع در این گونه سیالها حدود  $80$  تا  $80$  درصد بوده و بیشتر حجم سیال را به خود اختصاص می‌دهد. هالیت توسط اشکال مکعبی و نیمه مکعبی و ایزوتوب نوری‌اش مشخص می‌شود. بر روی سیالات این گروه درجه همگن‌شدن و ذوب بلور نمک اندازه‌گیری شده است، که در طی حرارت‌دادن در دمای بالای  $280$  درجه سانتی‌گراد، هالیت مکعبی شکل شروع به ذوب شدن می‌کند و در بسیاری از نمونه‌ها در دمای  $330$  تا  $340$  درجه سانتی‌گراد اندازه آن کم‌کم کاهش یافته و ناپدید می‌شود (البته به علت آسیب رسیدن به میکروسکپ در دماهای بالا، این دما برای نمونه‌های با دمای ذوب هالیت می‌باشد از  $480$  درجه سانتی‌گراد اندازه‌گیری نشده است). میانگین دمای همگن‌شدن در این نوع از سیالها درجه  $364/0$  درصد وزنی معادل نمک طعام است. این نوع سیالات درگیر در گروههای رگه‌چهای موجود در دگرسانیهای مختلف قابل مشاهده‌اند، اما در سیالات درگیر موجود در گروه یک رگه‌ها فراوانی بیشتری داشته و همچنین میانگین دمای همگن‌شدن و شوری در رگه‌چهای مذکور بیش از بقیه رگه‌های است.

(ب) سیالات درگیر نوع (LVS): این نوع از سیالات درگیر شامل مایع + بخار + کانیهای اپاک می‌باشد، که حجم فاز مایع مشابه سیالات درگیر نوع LVH بوده و تنها به لحاظ فاز نوزاد یا کانیهای دختر موجود در آنها فرق دارند. از جمله کانیهای اپاک همراه این نوع از سیالات درگیر، کالکوپیریت است که این کانی به وسیله ویژگیهای نوری‌اش به آسانی قابل شناسایی است. از دیگر کانیهای اپاک موجود در این سیالها،

جدول ۱. نتایج مربوط به مطالعه سیالات در گیر گروههای رگچهای موجود در دگرسانیهای مختلف کانسار مس پورفیری سرچشم.

شماره نمونه	گروه رگچهای	زون دگرسانی	نوع میانوار	دماهی یوتکنیک (°C)	دماهی ذوب بخ (°C)	دماهی ذوب	دماهی هستگشدن (V→L) (°C)	دماهی هستگشدن (L→V) (°C)	دماهی ذوب هالیت (°C)
Sar 100-1	پک	پتابیک	L+V	-۲۷/۸	-۱۶	۲۰۵	-	-	۱۹/۴۵
Sar 100-2	پک	پتابیک	L+V	-۳۷/۵	-۱۱/۸	۲۴	-	-	۱۵/۲۶
Sar 100-3	پک	پتابیک	V+L	-۳۲/۶	-۵/۹	-	-	۴۶۲	۹/۰.۸
Sar 100-4	پک	پتابیک	V+L	-۳۱/۸	-۶/۳	-	-	۴۷۶	۹/۰.
Sar 100-5	پک	پتابیک	V+L	-۳۹/۳	-۴/۵	-	-	۴۸ <	۷/۱۲
Sar 100-6	پک	پتابیک	L+V+Hl	-۵۱/۹	-۱۶/۲	-	-	۴۸/۹	۵۴/۶
Sar 100-7	پک	پتابیک	L+V+Hl	-۵۳/۲	-۱۲/۱	-	-	۴۲۲/۱	۴۹/۹
Sar 100-8	پک	پتابیک	L+V+Hl	-۵۴/۳	-۱۰/۸	-	-	۴۴۱/۳	۵۲/۱
Sar 100-9	پک	پتابیک	L+V+Hl	-۴۸/۹	-۱۱/۲	-	-	۴۵۸/۸	۵۲/۱<
Sar 100-10	پک	پتابیک	L+V+Hl	-۴۱/۹	-۱۴/۸	-	-	۴۴۲/۳	۵۴/۷
Sar 100-11	پک	پتابیک	L+V+Hl	-۴۷/۲	-۱۷/۸	-	-	۴۴۰/۸	۵۱/۸
Sar 100-12	پک	پتابیک	L+V+Hl	-۴۶/۹	-۱۸/۴	-	-	۴۵۱/۶	۵۳/۶
Sar 101-1	دو	فلیک	L+V+Hl	-۳۰/۶	-۱/۸	-	-	۴۴۹/۱	۵۷/۱<
Sar 101-2	دو	فلیک	L+V	-۳۱/۱	-۲/۳	-	-	۲۶/۰/۳	۳/۱۷
Sar 101-3	دو	فلیک	L+V	-۳۱/۶	-۲/۵	-	-	۲۵۸/۷	۴/۱۸
Sar 101-4	دو	فلیک	L+V	-۳۲/۴	-۲/۳	-	-	۲۶۱/۳	۳/۱۸
Sar 101-5	دو	فلیک	L+V	-۳۲/۸	-۲/۱	-	-	۲۵/۰/۲	۳/۱۵
Sar 101-6	دو	فلیک	L+V	-۳۰/۸	-۱/۷	-	-	۲۵۳/۴	۲/۹.
Sar 101-7	دو	فلیک	L+V	-۳۷/۱	-۳/۸	-	-	۲۶۵/۱	۶/۱۶
Sar 101-8	دو	فلیک	L+V+Hl	-۳۱/۲	-۱/۵	-	-	۲۸۲/۴	۴۲/۴
Sar 101-14	دو	فلیک	L+V+Hl	-۳۱/۰	-۴-۹/۲	-	-	۴۴۲/۱	۵۷/۲
Sar 101-18	دو	فلیک	L+V+Hl	-۳۰/۵	-۱/۸	-	-	۲۹۸/۹	۵۷/۱<
Sar 101-20	دو	فلیک	L+V+Hl	-۳۰/۶	-۵/۲	-	-	۲۸۱/۰	۴۷/۴
Sar 101-21	دو	فلیک	L+V+Hl	-۳۰/۴	-۱۰/۸	-	-	۴۵۸/۸	۵۴/۲
Sar 101-22	دو	فلیک	L+V+Hl	-۳۰/۶	-۹/۸	-	-	۴۴۸/۹	۴۷/۲
Sar 116-1	سه	فلیک	L+V	-۳۷/۴	-۲/۹	-	-	۲۷۸/۴	۴/۱۸.
Sar 116-2	سه	فلیک	L+V	-۳۷/۲	-۲/۸	-	-	۲۸۹/۹	۴/۶۵
Sar 116-3	سه	فلیک	L+V	-۳۷/۰	-۲/۹	-	-	۲۶۷/۳	۶/۳
Sar 116-4	سه	فلیک	L+V	-۳۱/۳	-۴/۰	-	-	۲۸۷/۵	۶/۴۵
Sar 116-6	سه	فلیک	L+V+So	-۳۰/۹	-۱/۸	-	-	۴۶۴/۴	۳/۱۰
Sar 116-8	سه	فلیک	L+V	-۳۵/۶	-۲/۴	-	-	۲۶۱/۶	۵/۰۶
Sar 116-9	سه	فلیک	L+V+So	-۳۵/۶	-۲/۴	-	-	۳۵۵/۱	۵/۰۶
Sar 116-10	سه	فلیک	V+L	-۳۵/۷	-۴/۶	-	-	۴۴۰/۴	۷/۲۱
Sar 116-13	سه	فلیک	V+L	-۳۰/۴	-۱/۹	-	-	۲۶۰/۶	۳/۲۳
Sar 116-17	سه	فلیک	L+V	-۳۷/۷	-۲/۲	-	-	۲۴۳/۹	۳/۷۱
Sar 116-23	سه	فلیک	L+V+So	-۳۵/۹	-۲/۵	-	-	۳۶۵/۱	۵/۰۱
Sar 116-24	سه	فلیک	L+V+So	-۳۶/۸	-۶/۴	-	-	۲۴۸/۲	۹/۷۳
Sar 116-25	سه	فلیک	L+V+So	-۳۷/۴	-۵/۰	-	-	۳۵۵/۱	۸/۸۱
Sar 116-26	سه	فلیک	L+V+Hl	-۴۰/۹	-۱۲/۱	-	-	۲۲۱/۴	۴۲/۹
Sar 116-30	سه	فلیک	L+V+Hl	-۴۱/۸	-۱۶/۱	-	-	۲۳۵/۲	۵/۱۶
Sar 141-1	چهار	پروپیلیتک	L+V	-۳۱/۵	-۱/۹	-	-	۲۴۹/۱	۳/۲۲
Sar 141-2	چهار	پروپیلیتک	L+V	-۳۰/۵	-۱/۸	-	-	۲۲۲/۵	۳/۰۶
Sar 141-3	چهار	پروپیلیتک	L+V	-۳۰/۷	-۲/۲	-	-	۲۴۳/۷	۴/۰۶
Sar 141-4	چهار	پروپیلیتک	L+V	-۳۱/۵	-۱/۹	-	-	۲۴۹/۳	۳/۰۲
Sar 141-5	چهار	پروپیلیتک	L+V	-۳۲/۵	-۲/۳	-	-	۲۷۲/۶	۵/۰۶
Sar 141-6	چهار	پروپیلیتک	L+V	-۳۸/۹	-۲/۶	-	-	۲۸۵/۳	۵/۰۸
Sar 141-7	چهار	پروپیلیتک	L+V	-۳۰/۲	-۲/۱	-	-	۱۸۸/۹	۳/۰۵
Sar 141-8	چهار	پروپیلیتک	L+V	-۳۰/۴	-۱/۹	-	-	۱۹۸/۳	۳/۰۲
Sar 141-9	چهار	پروپیلیتک	V+L	-۳۹/۸	-۸/۱	-	-	۴۰/۱/۸	۱۱/۸۱
Sar 141-10	چهار	پروپیلیتک	L+V+Hl	-۳۹/۸	-۱۲/۸	-	-	۲۲۲/۷	۴۲/۶

So: کانی‌های پک

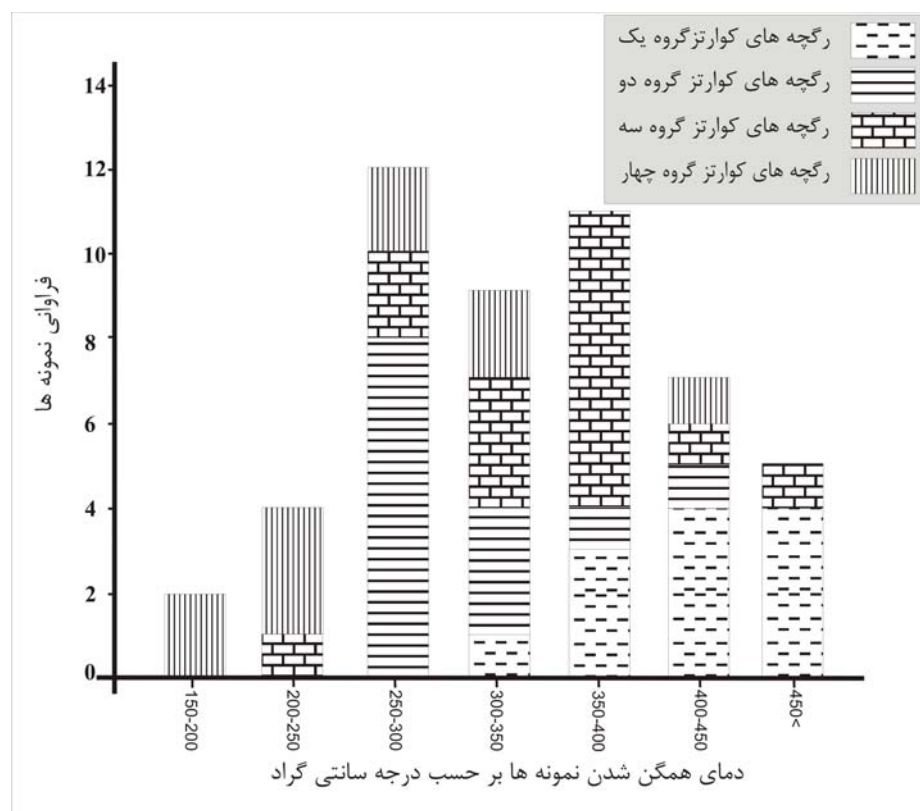
Hl: هالیت

V: بتار

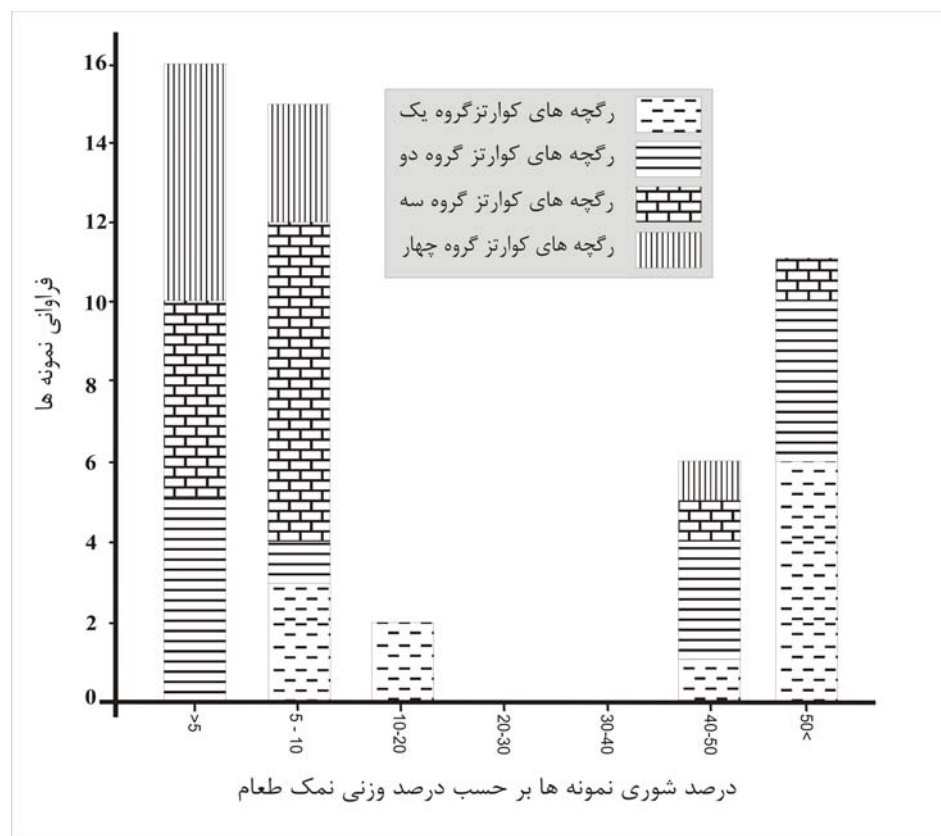
L: ماجع

همچنین مقدار و تعداد سیالات درگیر دارای فاز جامد هالیت و کانیهای اپاک بسیار کم می‌باشد، که این امر می‌تواند ناشی از تأثیر محلولهای جوی بر روی رگه‌چهای و سنگهای موجود در این زون باشد. پس با توجه به نتایج موجود در جدول (۱) و مطالب عنوان شده، می‌توان به این نتیجه رسید که، درجه حرارت همگن‌شدن سیالات درگیر موجود در رگه‌چهای گروه یک که در دگرسانی پتاسیک کانسار مورد مطالعه حضور دارند، بین ۳۵۰ تا ۴۶۰ درجه سانتی‌گراد بوده و میانگین شوری این سیالها بیش از ۴۰ درصد وزنی معادل نمک طعام می‌باشد، که این شرایط معرف یک سیال ماقمایی بوده و باعث تشکیل دگرسانی پتاسیک شده است، همچنین دمای همگن‌شدن و میانگین شوری اکثر سیالات درگیر موجود در گروههای رگه‌چهای دو و سه، که در دگرسانی فیلیک کانسار حضور دارند، بین ۳۵۰ تا ۴۶۰ درجه سانتی‌گراد و بین ۵ تا ۱۰ درصد وزنی معادل نمک طعام می‌باشد، لذا این کاهش شوری و حرارت در سیالهای موجود در رگه‌چهای مذکور می‌تواند معرف اختلاط سیالهای ماقمایی با یک سیال با شوری و دمای کمتر (یک سیال جوی) باشد، که باعث تغییر در رفتار سیال و ایجاد دگرسانی فیلیک شده است.

در شکل (۵) نمودار همگن‌شدن و در شکل (۶) درصد شوری سیالات درگیر موجود در گروههای رگه‌چهای مختلف کانسار سرچشمه به نمایش درآمده است. میانگین دمای همگن‌شدنگی در سیالات درگیر مختلف موجود در گروههای رگه‌چهای یک، دو، سه و چهار که به ترتیب از دگرسانیهای پتاسیک، فیلیک، فیلیک و پروپیلیتیک حاصل شده‌اند، حدود ۴۲۰/۷، ۳۰۲/۵، ۳۵۰ و ۲۷۴/۵ درجه سانتی‌گراد می‌باشد، همچنین میانگین شوری نیز در رگه‌چهای مذکور به ترتیب بیش از ۳۶/۲، ۲۸/۶۲ درصد وزنی معادل نمک طعام در رگه‌چهای گروه یک و دو و به ترتیب ۱۱/۲۲ و ۸/۶۲ درصد وزنی معادل نمک طعام در رگه‌چهای گروه سه و چهار است. به طوری از نتایج بر می‌آید سیالات موجود در گروه یک رگه‌چهای دارای دمای همگن‌شدن و شوری بالایی می‌باشند و لذا با توجه به این که این رگه‌چهای از دگرسانی پتاسیک کانسار برداشت شده و همچنین با تلفیق این اطلاعات با نتایج حاصل از مطالعه ایزوتوپ‌های پایدار، می‌توان نتیجه گرفت که این رگه‌چهای از یک سیال ماقمایی حاصل شده‌اند. نتایج نشان می‌دهد که شوری و دمای همگن‌شدن در رگه‌چهای گروه چهار که از دگرسانی پروپیلیتیک کانسار برداشته شده‌اند، کاهش یافته و



شکل ۵. هیستوگرام دمای همگن‌شدن در مقابل فراوانی سیالات درگیر مورد مطالعه در گروههای رگه‌چهای مختلف کانسار سرچشمه.



شکل ۶. هیستوگرام درصد شوری در مقابل فراوانی سیالات در گیر مورد مطالعه در گروههای رگچهای مختلف کانسار سرچشمه.

روی نمودار سه محدوده جداگانه قابل تشخیص است که عبارتنداز:

(۱) محدوده A، که معرف یک سیال با دما و شوری بالاست، که این ویژگی در سیالهای ماقمایی دیده می‌شود و اکثر نمونه‌های موجود در این قسمت مربوط به دگرسانی پتاسیک کانسار می‌باشند. لذا در صورتی که عمل جوشش با کاهش حرارت بهصورت جزئی اتفاق بیفتاد، مسیر حرکت سیال بهسوی محدوده A خواهد بود، در نتیجه سیال به سمت منحنی اشباع از هالیت حرکت می‌کند [۱۲]، که این حالت عمدهاً در رگچه‌های گروه یک موجود در دگرسانی پتاسیک کانسار مورد مطالعه دیده می‌شود، که سیالات درگیر موجود در آنها دارای شوری و دمای همگن‌شدن بالایی می‌باشند.

(۲) محدوده B، که معرف یک سیال با شوری و دمای پایین است، که این ویژگی یعنی دارا بودن دما و شوری پایین مختص سیالات جوی است. اکثر نمونه‌های موجود در رگچه‌های گروه چهار در این محدوده قرار می‌گیرند و این دما، شوری و رگچه‌ها عمدهاً معرف دگرسانی پرپولیتیک در کانسار مورد مطالعه می‌باشند. همچنین ویلکینسون [۱۲]

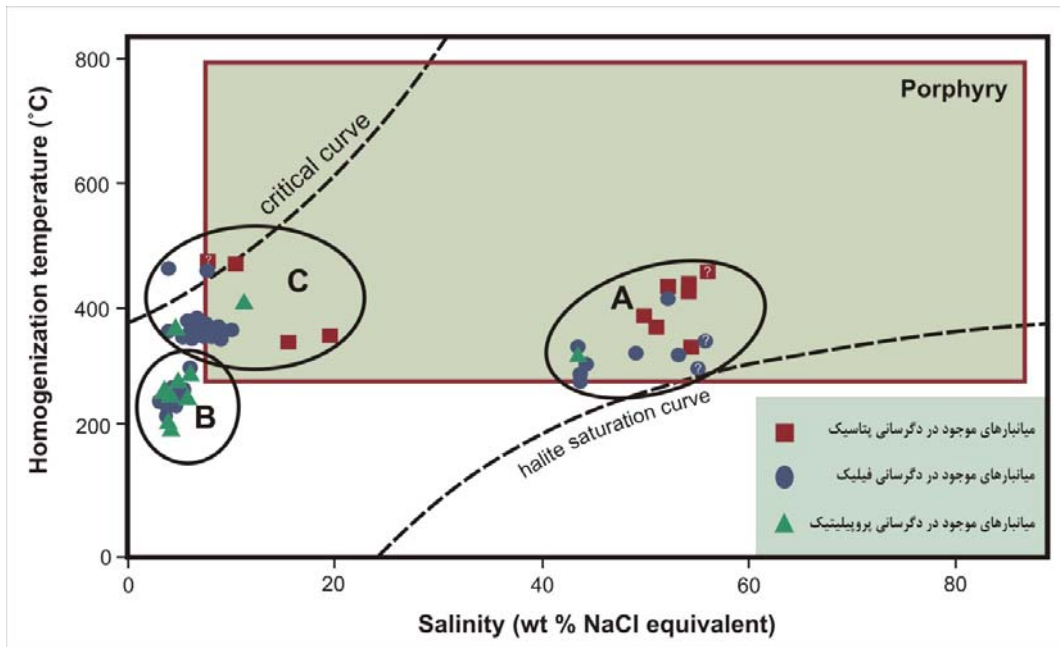
همچنین غالب سیالات درگیر موجود در رگچه‌های گروه چهار، که در دگرسانی پرپولیتیک کانسار حضور دارند، بهترتب دارای دمای همگن‌شدن بین ۱۹۰ تا ۲۸۰ درجه سانتی‌گراد و میانگین شوری معادل ۵ درصد وزنی معادل نمک طعام می‌باشند، این دما و این شوری در سیالات درگیر گروه چهار معرف یک سیال جوی است، که رگچه‌های گروه چهار را تحت تأثیر قرار داده و باعث ایجاد دگرسانی پرپولیتیک در سنگهای میزان شده است. در نتیجه سه گروه سیال با دمای همگن‌شدن و شوری متفاوت در کانسار مس پورفیری سرچشمه شناسایی شده است که این سیالات به نوبه خود باعث دگرسانی و کانه‌زایی در این معدن شده‌اند. همچنین با توجه به درصد شوری و دمای همگن‌شدن سیالات درگیر موجود در گروههای رگچهای مختلف، نمودار شوری - دمای همگن‌شدنگی سیالات درگیر در شکل (۷) آورده شده است، که این نمودار توسط ویلکینسون [۱۲] تنظیم شده و در آن محل قرارگیری سیالهای مربوط به کانسارهای پورفیری مشخص شده است. پس از پیاده‌کردن نمونه‌ها بر

شد. در حقیقت جوشش سیالات گرمابی یک مکانیسم و فرآیند اولیه برای تحرک و تمرکز فلزات در هنگام تشکیل کانسارهای فلزی محسوب می‌شود. این فرآیند در شرایط دما بالا و فشار پایین رخ می‌دهد و نتیجه آن افزایش شوری، افزایش pH، تغییر در شرایط Eh و تنهشست موادمعدنی است [۱۲]. همچنین این پدیده موجب به دام افتادن سیالات درگیر با نسبتهای فازی مختلف می‌شود [۱۶]. حضور سیالات درگیر اشباع از NaCl به همراه سیالات درگیر غنی از گاز به خصوص در رگه‌چهای گروه یک می‌تواند شواهدی از وقوع جوشش در سیالات کانه‌ساز باشد. لذا در این نوع از سیالات درگیر بلافضله پس از به دام افتادن سیال، حباب گاز تشکیل می‌شود و درجه همگن‌شدن این سیالات درگیر با دمای به تله افتادن آنها برابر است. اطمینان [۶] نیز اعتقاد دارد که، نهشت مس در کانسار سرچشمته تنها به علت کاهش دما و یا افزایش pH سیال کانه‌دار نبوده است، بلکه به جوش آمدن سیالات در اثر افت ناگهانی فشار که باعث بر هم خوردن تعادل بین فازها شده است، عامل جدایش و رسوب کالکوپیریت گشته است.

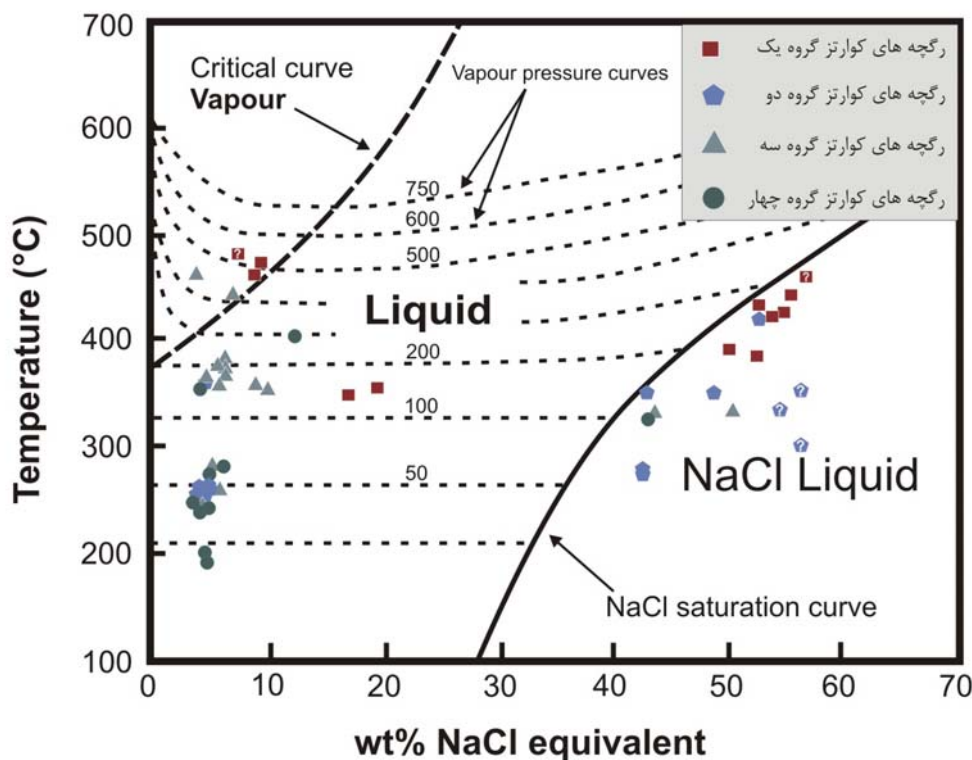
- نقطه یوتکتیک برای سیستم NaCl+H<sub>2</sub>O بیشتر از ۲۰/۸ درجه سانتی‌گراد است، حال آنکه نقطه یوتکتیک در نمونه‌های سیال مورد مطالعه پایین‌تر از این دمایست [۳۰/۶-۳۹]، که این امر بیانگر حضور نمکهای دیگری علاوه بر NaCl در سیال کانه‌ساز می‌باشد. لذا با توجه به مطالعات بورینسکو [۱۷]، ترکیب این نمکها می‌تواند H2O-MgCl2، H2O-NaCl-FeCl2، H2O-NaCl-MgCl2 و H2O-Na2CO3-K2CO3 باشد. میانگین این دما در سیالات درگیر موجود در رگه‌چهای گروه یک که در دگرسانی پتانسیک کانسار حضور دارند (حدود ۴۲-۴۴ درجه سانتی‌گراد) بیش از بقیه گروههای رگه‌چهای می‌باشد و در بقیه گروهها تقریباً مشابه و حدود ۳۴-۳۵ درجه سانتی‌گراد است. لذا ناست و ویلیام جونز [۱۸] معتقدند که در سیالات درگیر دارای دمای ۴۸/۲-۴۴/۵ تا ۴۸/۲ درجه سانتی‌گراد، سدیم و پتانسیم غالب می‌باشند و تمرکز قابل توجهی از کاتیون‌های دو ظرفیتی را در محلولها یا سیالات درگیر به وجود می‌آورند، لذا به نظر می‌رسد در سیالات درگیر دارای دمای بیش از ۴۴/۵-۴۵ درجه سانتی‌گراد (مانند رگه‌های گروه یک)، کاتیون‌های دو ظرفیتی سدیم و پتانسیم به صورت امللاح با پیوند H<sub>2</sub>O-CaCl<sub>2</sub> و H<sub>2</sub>O-KCl-CaCl<sub>2</sub> حضور دارند.

معتقد است که، سیالات کانسارساز که دارای دما و شوری بیشتری در کانسارهای پورفیری می‌باشند، احتمالاً در اثر سیالات جوی دارای دما و شوری کمتری شده‌اند. بنابراین سیالات درگیر رگه‌چهای گروه چهار که در دگرسانی پروپیلیتیک کانسار حضور دارند؛ دارای این ویژگی می‌باشند.

(۳) محدوده C، که این محدوده حدودست دو محدوده دیگر است و نمونه‌های مربوط به گروههای رگه‌چهای مختلف را در بر می‌گیرد. در این محدوده عمدتاً سیالات درگیر مربوط به رگه‌چهای گروه دو و سه موجود در دگرسانی فیلیک کانسار قرار گرفته‌اند، که این وضعیت بیانگر کاهش شوری و حرارت بعضی از سیالات درگیر از ترکیب اولیه خود و ثابت بودن حرارت و کاهش شوری در بعضی دیگر از سیالات درگیر موجود در این گروههای رگه‌چهای است [۱۲]. مقدار شوری سیالات درگیر موجود در گروههای رگه‌چهای مختلف در مقابل دمای همگن‌شدن در شکل (۸) رسم شده است. لذا همان‌طور که از این نمودار بر می‌آید سیالات درگیر موجود در گروه یک رگه‌چهایها عمدتاً سیالهای اشباع از هالیت و اشباع از بخار هستند، در صورتی که سیالات درگیر موجود در رگه‌چهای گروه چهار بیشتر سیالهای اشباع از مایع هستند. همچنین نمودار بیانگر این است که، سیالات درگیر غنی از فاز جامد در تمام گروههای رگه‌چهای در کنار منحنی اشباع از NaCl متتمرکز می‌شوند، به طوری که هزارخانی [۴] معتقد است که، سیالات درگیری که بالای منحنی مذکور قرار گرفته‌اند، فاز جامد قبل از فاز گاز همگن شده ولی در نمونه‌هایی که در زیر منحنی قرار می‌گیرند، ابتدا فاز گاز و سپس فازهای جامد همگن شده‌اند. همچنین سیالات درگیر اشباع از بخار یا VL عمدتاً در بالای منحنی بحرانی متتمرکز شده و سیالات درگیر اشباع از مایع یا LV نیز به تمامی در زیر منحنی بحرانی قرار گرفته‌اند. همچنین در صورتی که عمل جوشش با کاهش حرارت به صورت جزئی اتفاق بیفتد، مسیر حرکت سیال به سمت منحنی اشباع از هالیت است، که این حالت عمدتاً در رگه‌چهای گروه یک کانسار مورد مطالعه دیده می‌شود، که سیالات درگیر موجود در آنها دارای شوری و دمای همگن‌شدن بالاتری نسبت به ترکیب اولیه خود شده‌اند [۱۲]. فرآیند جوشش زمانی اتفاق می‌افتد که فشار هیدروستاتیک بیشتر از فشار لیتوستاتیک شده و همین امر باعث کاهش سریع فشار محصور کننده سیالات گرمابی خواهد



شکل ۷. مدل شماتیکی برای نشان دادن تغییرات احتمالی سیالات در گیر پس از تشکیل و در هنگام عمل گرمایش در گروههای رگهچه‌ای موجود در دگرسانیهای مختلف کانسار مس پورفیری سرچشمه؛ به همراه محدوده پیشنهادی برای سیالات در گیر کانسارهای با تیپ پورفیری (نمودار از ویلکینسون ۲۰۰۱ [۱۲]). محدوده A معرف یک سیال با دما و شوری بالاست، که این ویژگی در سیالهای مامگایی دیده می‌شود و اکثر نمونه‌های موجود در این قسمت مربوط به دگرسانی پتاسیک کانسار است. محدوده B معرف یک محلول با شوری و دمای پایین است، که این ویژگی یعنی دارا بودن دما و شوری پایین مختص سیالات جوی و در دگرسانی پروپیلیتیک کانسار قابل مشاهده است. محدوده C: این محدوده حدوداً سطح دو محدوده دیگر است و عمدهاً نمونه‌های مربوط به رگهچه‌ای گروه دو و سه را در بر می‌گیرد.



شکل ۸. نمودار دمای همگن شدن در مقابل شوری سیالات در گیر گروههای رگهچه‌ای موجود در دگرسانیهای مختلف کانسار مس پورفیری سرچشمه (منحنی بحرانی و منحنی اتحاد هالیت [۱۵]).

ایزوتوب‌های پایدار گوگرد می‌توان بر حسب دما، pH و فوگاسیته اکسیژن ارزیابی کرد.

سه مخزن متمایز ایزوتوبی برای  $\delta^{34}\text{S}$  وجود دارد [۲۲]:  
۱) گوگرد حاصل از گوشته با مقادیر  $\delta^{34}\text{S}$  حدود  $3 \pm 0$  در هزار (پرمیل) [۲۳]

۲) گوگرد آب دریا با  $\delta^{34}\text{S}$  امروزی حدود  $+20$  در هزار که البته این مقدار در گذشته متفاوت بوده است.

۳) گوگرد به شدت احیایی (رسوبی) با مقادیر منفی بزرگ  $\delta^{34}\text{S}$ .

لذا به کمک ایزوتوب‌های گوگرد می‌توان منشأ گوگرد مورد نیاز کانسار را تعیین کرد. به علاوه، به کمک این ابزار می‌توان مسائل دیگری از جمله تعیین دمای سیال کانه‌دار، تعیین نسبت مؤثر آب به سنگ در طول کانی‌سازی، تعیین درجه تعادل موجود در سیستم و در آخر تعیین سازوکار تشکیل کانسار اشاره کرد [۲۴].

#### نتایج آنالیز شیمیایی ایزوتوب‌های گوگرد

آزمایش‌های ایزوتوبی گوگرد در کانسار مس پورفیری سرچشمۀ بر روی پیریت، کالکوپیریت، مولیبدنیت و انیدریت‌های، چهار گروه رگه‌چهای موجود در دگرسانیهای مختلف صورت گرفت. نسبت ایزوتوبی گوگرد ( $\delta^{34}\text{S}$ ) بر مبنای استاندارد<sup>۵</sup> CDT یا فاز سولفیدی ترویلیت شخانه (شهاب سنگ) آهنی کانیون دیابلو آریزونا برای یک نمونه مولیبدنیت، دو نمونه کالکوپیریت، شش نمونه پیریت و پنج نمونه انیدریت محاسبه و در جدول (۲) ارائه شده است. با توجه به تصحیحات دمایی صورت گرفته بر روی کانیهای مورد مطالعه جدول (۲)، کمترین مقدار  $\delta^{34}\text{S}$  در اندازه‌گیری شده در پیریت‌های گروههای رگه‌چهای موجود در دگرسانیهای مختلف  $-0/75$  - در هزار و بیشترین مقدار  $1/27$  در هزار است. همچنین کمترین و بیشترین مقدار  $\delta^{34}\text{S}$  در نمونه‌های کالکوپیریت حدود  $0/50$  در هزار است، این نزدیکی در مقادیر حاصل از نمونه‌های پیریتی و کالکوپیریتی، می‌تواند به این دلیل باشد، که کالکوپیریت به واسطۀ جانشینی یونی در پیریت حاصل شده است [۲۵]. همچنین مقدار اندازه‌گیری شده  $\delta^{34}\text{S}$  در نمونه مولیبدنیت حاصل از رگه‌چهای گروه یک موجود در دگرسانی پتاسیک کانسار مورد مطالعه برابر  $-2/2$  در هزار می‌باشد. از

حضور کانیهای اپاک در سیالات درگیر سه‌فازی (بیشتر کالکوپیریت و بعضًا هماتیت) کانسار مس پورفیری سرچشمۀ بهدلیل حضور آهن به عنوان عنصر اصلی در سیال در کنار پتاسیم و سدیم می‌باشد. شواهد نشان می‌دهد که سیالات درگیر دارای کانیهای اپاک که در گروههای رگه‌چهای دو و سه حضور دارند، در یک شرایط احیایی تشکیل شده‌اند و در این شرایط حضور  $\text{Fe}^{2+}$  و  $\text{S}^{2-}$  کاملاً مشهود است، لذا این نوع از سیالات درگیر دارای کانیهای دختری از قبیل کالکوپیریت و مولیبدنیت می‌باشند. از طرفی این سیالها تحت تأثیر آبهای سطحی یا جوی در شرایط اکسیدان قرار گرفته‌اند، که ضمن این شرایط  $\text{Fe}^{2+}$  به  $\text{Fe}^{3+}$  و  $\text{S}^{2-}$  به  $\text{SO}_4^{2-}$  تبدیل شده و کانیهای مذکور به هماتیت و بعضًا به انیدریت تبدیل شده‌اند. همچنین با توجه به دمای همگن‌شدن و چگالی سیالات درگیر می‌توان از نمودارهای ارائه شده توسط رودر و بودنر<sup>۶</sup> [۱۹] و شپرد و همکاران<sup>۷</sup> [۲۰] فشاری حدود ۱۵۰ تا بیش از ۴۰۰ بار را برای سیالات درگیر موجود در گروههای رگه‌چهای مختلف در نظر گرفت و همچنین با توجه با دمای همگن‌شدن بالا، شوری بسیار زیاد، شواهد جوشش در سیالات درگیر و فشار حاکم بر سیالات کانسارساز می‌توان نتیجه گرفت که کانسار مورد مطالعه شبیه دیگر کانسارهای با تیپ مس - مولیبدن پورفیری است.

#### ایزوتوب‌های پایدار گوگرد

اوهموتو [۲۱] معتقد است که تغییر در مقادیر  $\delta^{34}\text{S}$  در کانیها ممکن است بر اثر تغییر در دما، شرایط احیایی، pH و مقدار ایزوتوب در خاستگاه اولیه گوگرد باشد. لذا با توجه به این که هدف از این مطالعه، بررسی تغییرات و منشأ ایزوتوب‌های پایدار گوگرد در کانسار مس پورفیری سرچشمۀ است، می‌توان عنوان کرد که نسبت ایزوتوب‌های گوگرد به چند دلیل در کانیهای موجود در کانسارهای گرمایی بهشت تغییر می‌کنند:

- (۱) تقییک ایزوتوبی بین هر یک از کانیهای سولفیدی و سولفاتی کانسنگ به عنوان تابعی از دمای نهشته شدن تغییر می‌کند.

- (۲) نسبت ایزوتوبی اولیه به وسیله منشأ گوگرد تعیین می‌شود.
- (۳) نسبتهای تغییر انواع گوگرد اکسید شده و احیاء شده در محلول یا به بیان ساده‌تر نسبت  $\text{SO}_4^{2-}/\text{H}_2\text{S}$  را در

3: Roedder and Bodnar

4: Shepherd et al.

در فرمولهای فوق  $\Delta^{34}\text{S}$  عبارت است از اختلاف بین  $\delta^{34}\text{S}$  مربوط به دو کانی همراه، A و B ثابت‌هایی هستند که مقدار آنها برای زوجهای کانیایی مختلف متفاوت است (ثابت A در معادله مربوط به جفتهای سولفیدی پیریت - کالکوپیریت برابر  $0/45$  و مقدار A و B برای زوجهای سولفات - پیریت به ترتیب  $6/063$  و  $0/56$  می‌باشد)، T عبارت است از درجه حرارت مطلق، که بر حسب کلوین است. لذا با توجه به انتخاب نمونه‌ها از گروههای رگهچه‌های مختلف و همچنین با در نظر گرفتن نمونه‌برداری از مناطق مختلف دگرسانی و محدوده مقادیر  $\delta^{34}\text{S}$ ، احتمالاً اشتاقاق سولفور در طی چند نسل کانه‌زایی از یک منبع ثابت صورت گرفته است. بنا به عقیده فیلد و گوستافسون<sup>۶</sup> [۲۹] در سال ۱۹۷۶، در کانسارهای غرب امریکا سولفات‌ها به لحاظ ژئوتکنیکی همزمان با سولفیدها و در طی مرحله اصلی کانه‌زایی نهشته می‌شوند. در حالی که نتایج ترمومتری پیریت- سولفات در کانسار مورد مطالعه عدم تعادل این دو کانی را با هم نشان می‌دهد.

### منشأ گوگرد

میانگین یا مقدار متوسط  $\delta^{34}\text{S}$  در سولفیدهای کانسار مس پورفیری سرچشمۀ کمتر از یک در هزار است. لذا این مقدار دلالت بر این دارد که سولفیدها به وسیله سیالات گوگرددار مشتق شده از منابع ماسه‌ای تشکیل شده‌اند [۲۷]. در نتیجه گوگرد ممکن است از یکی از این دو منبع حاصل شده باشد: یا مستقیماً از ذوب بخشی که سیال ماسه‌ای را تولید کرده حاصل شده و یا به واسطه انحلال و آب‌شویی منابع آذرین سولفیددار پیشین ایجاد شده است [۲۷]. کلاگری [۲۵] نیز در کانسار سنگون پس از مطالعات ایزوتوپی بر روی کانسار مذکور، منشأ سولفید را یکی از دو منبع عنوان شده معرفی می‌کند.

محیط فیزیکوشیمیایی مؤثر در تهنشینی رگهچه‌های گروه یک به علت اهمیت رگهچه‌های گروه یک و دخالت آبهای ماسه‌ای جهت تشکیل آنها و همچنین حضور مولیبدنیت به عنوان کانی سولفیدی مهم در این رگهچه‌ها، به بررسی محیط فیزیکوشیمیایی حاکم بر رگهچه‌های گروه یک می‌پردازیم. مقدار مولیبدن در سنگهای ماسه‌ای ارتباط مستقیمی با مقدار عناصر قلایایی ( $\text{Na} + \text{K}$ ) نشان می‌دهد. این مطلب

طرفی تغییرات  $\delta^{34}\text{S}$  در نمونه‌های انیدریت حاصل از رگهچه‌های گروه یک و سه دارای محدوده‌ی وسیعتری است، به طوری که این نمونه‌ها دارای دامنه تغییرات  $10/2$  تا  $14/5$  در هزار می‌باشند. لذا با توجه به اعداد بدست آمده می‌توان گفت که ترکیب ایزوتوپی گوگرد در سولفیدها و سولفات‌های موجود در گروههای رگهچه‌ای مختلف در بازه گسترده  $2/2$ - $14/5$  در هزار برای سولفیدها و سولفات‌ها قرار می‌گیرد. هیستوگرام فراوانی مقادیر  $\delta^{34}\text{S}$  برای نمونه‌های مذکور در شکل (۹) ترسیم شده است. مقادیر  $\delta^{34}\text{S}$  در سولفیدها و سولفات‌های کانسار مس پورفیری سرچشمۀ خیلی مشابه با دیگر کانسارهای مس پورفیری است، که این تشابه در شکل (۱۰) بین این کانسار و چند کانسار دیگر به تصویر کشیده شده است (شکل ۱۰). اوهموتو<sup>۷</sup> [۲۶] ترکیب ایزوتوپ گوگرد را برای کانسارهای گرمابی مرور کرده است. بر اساس این مطالعه مقدار سولفیدها در گستره باریک  $3 - 1$  در هزار و گستره  $\delta^{34}\text{S}$  سولفات‌ها در محدوده  $+8 - 16$  در هزار قرار می‌گیرد. همچنین اوهموتو و ریه<sup>۸</sup> [۲۷] معتقدند که ذخایر مس پورفیری محتمل‌ترین نامزد منشأ ماسه‌ای آذرین برای گوگرد به شمار می‌روند. و همان‌طور که عنوان شد مقادیر  $\delta^{34}\text{S}$  سولفیدها، در گستره باریک  $3 - 1$  در هزار و نزدیک به گستره پذیرفته شده برای گوشه قرار می‌گیرند. در این حالت فازهای سولفید و سولفات در تعادلند و دمای  $450 - 650$  درجه سانتی‌گراد را نشان می‌دهند. در دماهای بسیار بالا (بیش از  $400$  درجه سانتی‌گراد)،  $\text{H}_2\text{S}$  و  $\text{SO}_2$  گونه‌های گوگردی غالب در سیستم‌های گرمایی هستند؛ ولی در دماهای پایین‌تر گونه (کمتر از  $350$  درجه سانتی‌گراد) گوگردی غالب در سیستم گرمایی سولفات و  $\text{H}_2\text{S}$  است [۲۷]. با استفاده از جفتهای سولفید - سولفید و سولفید - سولفات اقدام به ژئوترمومتری کردیم، ولی نتایج به دست آمده قانع کننده نبوده است. در این محاسبات از فرمولهای زیر استفاده شده است:

برای جفتهای سولفید - سولفید (پیریت - کالکوپیریت):

$$1) \delta^{34}\text{S} = A (10^6 / T^2)$$

و برای جفتهای سولفات - سولفات (انیدریت - پیریت):

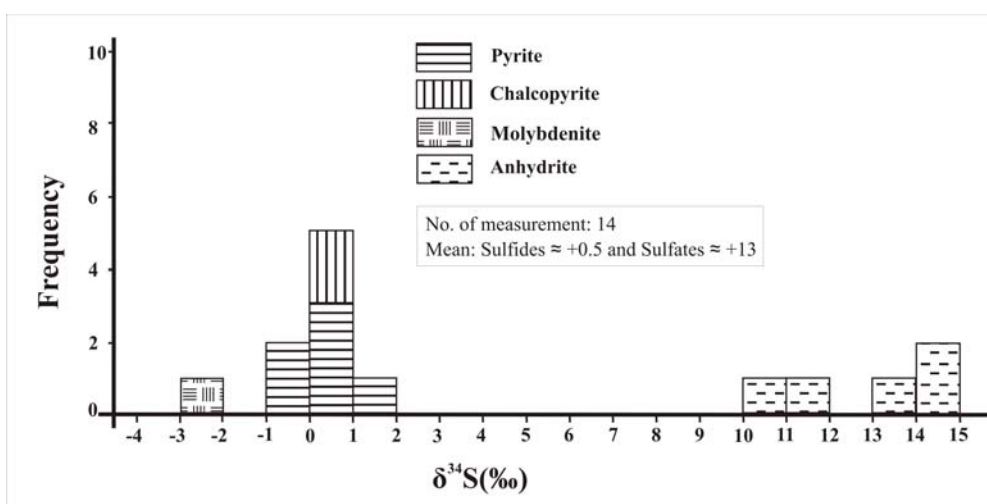
$$2) \delta^{34}\text{S} = A (10^6 / T^2) + B$$

6: Ohmoto

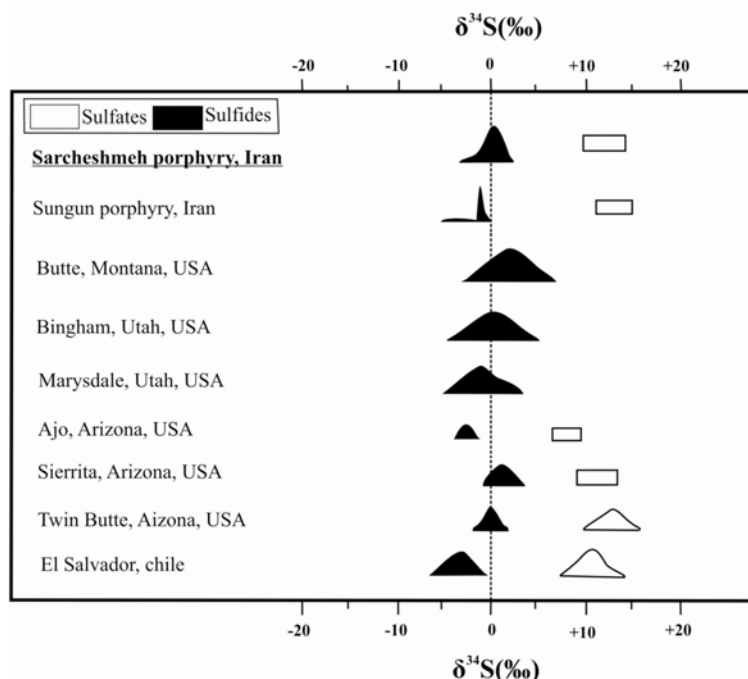
7: Ohmoto and Rye

از ۴۰۰ بار است. هزارخانی [۴] معتقد است که در طول دگرسانی پتاسیک و مرحله اصلی کانه‌زایی مس-مولیبیدن دما در حدود ۳۶۰ تا ۵۱۰ درجه سانتی‌گراد است، که مولیبدنیت زمانی می‌تواند از سیال جدا شده و تنه‌نشست پیدا کند که دما تقریباً از ۴۶۰ درجه سانتی‌گراد کاهش یابد.

بیانگر آن است که هر چه عمق تشکیل ماقما بیشتر باشد مقدار عناصر قلیایی و مولیبden در آن بیشتر است [۲]. نمونه‌های سیال درگیر مورد مطالعه در رگه‌چهای گروه یک کانسار مس پورفیری سرچشمه دارای دمای همگن‌شدن ۳۴۰ تا بیش از ۴۸۰ درجه سانتی‌گراد و میانگین ۴۲۰ درجه سانتی‌گراد بوده و شوری سیالات درگیر بالای ۴۰ درصد وزنی معادل نمک طعام می‌باشد و فشار حاکم بر این رگه‌ها بیش



شکل ۹. هیستوگرام فراوانی مقادیر  $\delta^{34}\text{S}$  کانیهای سولفیدی (پیریت، کالکوپیریت و مولیبدنیت) و سولفاتی (انیدریت) رگه‌چهای موجود در دگرسانیهای مختلف کانسار مس پورفیری سرچشمه.



شکل ۱۰. مقایسه شماتیک اختلاف و فراوانی نسبی مقادیر  $\delta^{34}\text{S}$  در سولفیدها و سولفات‌های کانسار مس پورفیری سرچشمه با هشت کانسار مس پورفیری دیگر (مقادیر  $\delta^{34}\text{S}$  سولفیدهای و سولفات‌های کانسار سونگون توسط کلاغری [۲۵] ارائه شده است، همچنین به جز مقادیر مذکور برای کانسارهای سرچشمه و سونگون بقیه مقادیر، که برای کانسارهای مختلف ارائه شده توسط اهموتو و ریه [۲۷] پذیرفته شده است).

جدول ۲. مقادیر ایزوتوب‌های پایدار گوگرد حاصل از نمونه‌های سولفیدی و سولفاتی گروههای رگه‌چهای موجود در دگرسانیهای مختلف کانسار مس پورفیری سرچشممه

نام نمونه	طول و عرض جغرافیایی گمانه‌ها	کانی مورد مطالعه	گروه رگه‌چهای	زون دگرسانی	ارتفاع (m)	$\delta^{34}\text{S}_{\text{min}}(\text{‰})$	T(°C)	$\delta^{34}\text{S}_{\text{H}_2\text{S fluid}}(\text{‰})$
SE 113-3R	N: ۲۹° ۵۶' ۵۲" EO: ۵۵° ۵۲' ۲۰"	کالکوپیریت	۱ گروه	پتاسیک	۲۳۷۳	-۰/۶۳	۴۵۰ **	-۰/۵۳
SE 141-6R	N: ۲۹° ۵۶' ۴۱" EO: ۵۵° ۵۱' ۴۰"	کالکوپیریت	۲ گروه	فیلیک	۲۲۲۰	-۰/۶۳	۳۵۰ *	-۰/۵۰
SE 128-2-1R	N: ۲۹° ۵۶' ۵۶" EO: ۵۵° ۵۲' ۰۵"	مولبیدنیت	۱ گروه	پتاسیک	۲۱۴۸	-۱/۳	۴۳۰ *	-۲/۲
SE 141-6R	N: ۲۹° ۵۶' ۴۱" EO: ۵۵° ۵۱' ۴۰"	پیریت	۲ گروه	فیلیک	۲۲۲۰	-۰/۲۸	۳۵۰ *	-۰/۷۵
SE 139-3R	N: ۲۹° ۵۷' ۰۱" EO: ۵۵° ۵۱' ۵۳"	پیریت	۱ گروه	فیلیک	۲۰۸۷	۱/۲۸	۴۰۰ **	-۰/۴۰
SE 143-6R	N: ۲۹° ۵۶' ۵۶" EO: ۵۵° ۵۲' ۰۵"	پیریت	۳ گروه	فیلیک	۲۳۷۳	۱/۶۳	۳۵۰ *	-۰/۱۶
SE 148-3R	N: ۲۹° ۵۷' ۱۱" EO: ۵۵° ۵۱' ۴۷"	پیریت	۱ گروه	فیلیک	۲۱۶۱	-۰/۸۱	۴۲۰ **	-۰/۰۲
SE 141-2-1R	N: ۲۹° ۵۶' ۵۳" EO: ۵۵° ۵۲' ۴۳"	پیریت	۴ گروه	پروپیلیتیک	۲۶۸۱	۱/۶	۲۷۵ *	-۰/۲۷
SE 126-2-1R	N: ۲۹° ۵۶' ۲۴" EO: ۵۵° ۵۱' ۰۹"	پیریت	۴ گروه	پروپیلیتیک	۲۸۴۵	۲/۶	۲۷۵ *	۱/۲۷
SE 139-3R	N: ۲۹° ۵۷' ۰۱" EO: ۵۵° ۵۱' ۵۳"	انیدریت	۱ گروه	فیلیک	۲۰۸۷	۱۳/۲	۴۰۰ **	
SE 143-5R	N: ۲۹° ۵۶' ۵۶" EO: ۵۵° ۵۲' ۰۵"	انیدریت	۳ گروه	فیلیک	۲۳۷۳	۱۴	۳۵۰ *	
SE 148-3R	N: ۲۹° ۵۷' ۱۱" EO: ۵۵° ۵۱' ۴۷"	انیدریت	۱ گروه	فیلیک	۲۱۶۱	۱۱/۳	۴۲۰ **	
SE 139-6R	N: ۲۹° ۵۷' ۰۱" EO: ۵۵° ۵۱' ۵۳"	انیدریت	۱ گروه	فیلیک	۲۰۹۲	۱۰/۲	۴۰۰ **	
SE 139-7R	N: ۲۹° ۵۷' ۰۱" EO: ۵۵° ۵۱' ۵۳"	انیدریت	۱ گروه	پتاسیک	۲۱۱۳	۱۴/۵	۴۳۰ **	

\* این دماها براساس دمای همگن‌شدن همراه سیالات درگیر همراه با نمونه‌های مورد استفاده جهت آنالیز ایزوتوبی گوگرد بوده است. لذا طبق موارد زیر نمونه‌های مورد مطالعه جهت آنالیز ایزوتوبی با مطالعات مربوط به سیالات درگیر در رگه‌چهای موجود در گروهها و دگرسانیهای مختلف همراهی دارند:

الف) نمونه‌های SE 128-2-1R به همراه سیالات درگیر Sar 100 در رگه‌چهای گروه یک

ب) نمونه‌های SE 141-6R به همراه سیالات درگیر Sar 101 در رگه‌چهای گروه دو

پ) نمونه‌های SE 143-5R و SE 143-6R به همراه سیالات درگیر Sar 116 در رگه‌چهای گروه سه

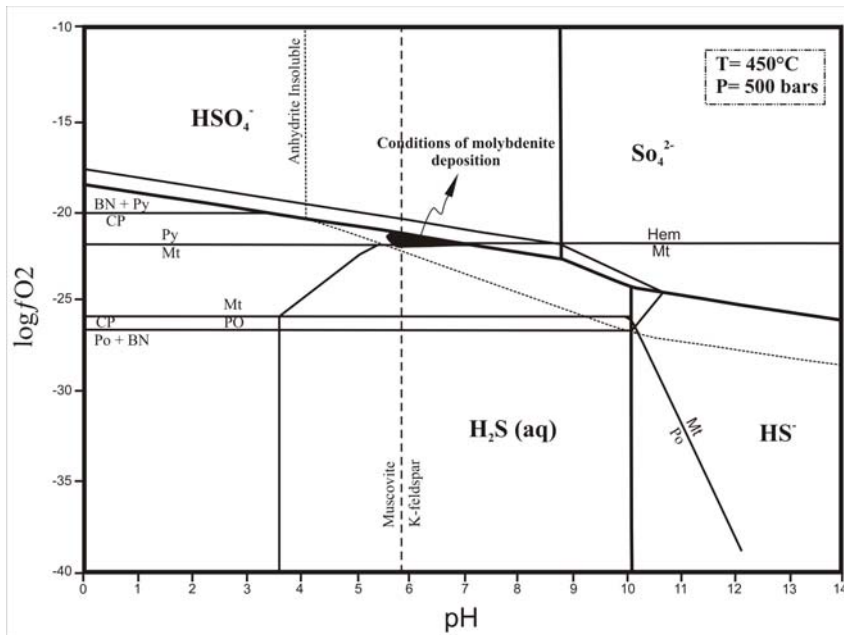
ت) نمونه‌های SE 141-2-1R و SE 126-2-1R به همراه سیالات درگیر Sar 141 در رگه‌چهای گروه چهار.

\*\* این دماها نیز با توجه به سیالات درگیر مطالعه و گروههای رگه‌چهای مختلف تخمینی می‌باشد.

در تصحیحات دمایی کالکوپیریت، مولبیدنیت و پیریت به ترتیب از فرمولهای لی و لیو<sup>۹</sup> [۳۳]، اهمoto و Rye<sup>10</sup> [۲۷] استفاده شده است.

9: Li and Liu

10: Ohmoto and Rye



شکل ۱۱. نمودار pH در برابر  $\log f\text{O}_2$  برای شرایط تقریبی (قسمت سیاه رنگ) رگه‌چهای کوارتز دارای مولیبدن گروه یک کانسار سرچشمه که مشابه با کانسار سونگون است [۳۲]. در این شکل رابطه پایداری کانیها در سیستم‌های S-O-Cu-Fe-Al-K و اندیریت در دمای ۵۰۰ درجه سانتی‌گراد، فشار ۵۰۰ بار، توانایی یونی برابر یک، اکتیویته  $S^{+0}/k^+$  برابر  $10^{-4}$  و اکتیویته  $\text{H}_2\text{S}^{+0}/\text{HS}^-$  برابر ۱ نمایش داده شده است (در این شکل اکتیویته به وسیله اطلاعات حاصل از سیالات در گیر محاسبه و همچنین مزهای فازی و حوزه‌های پایداری گونه‌های آبدار با استفاده از برنامه SUPCRT 92 محاسبه شده است).

به دست آمده است. این اطلاعات بیانگر آن است که رگه‌چهای گروه یک در کانسار سرچشمه، به طور عمده توسط یک سیال ماقمایی با شوری متوسط تا بالا (در حدود ۴۰ درصد وزنی معدل نمک طعام) و در دمای حدود ۳۴۰ تا ۴۸۰ درجه سانتی‌گراد تنشست پیدا کرده‌اند. همان‌طور که عنوان شد و در شکل (۱۱) قابل مشاهده است، مولیبدنیت در سرچشمه احتمالاً زمانی تنشست پیدا می‌کند که دما تقریباً از ۵۱۰ به ۴۶۰ درجه سانتی‌گراد تقلیل یابد [۴]. در نتیجه همان‌طور که از شواهد برمی‌آید مولیبدنیت بیشتر در دماهای بالا،  $\text{pH}$  کمترین عواملی که در این شرایط بروی تنشینی آن تأثیرگذار است عبارتنداز: ۱) افزایش غلظت سولفور (۲) کاهش غلظت فلور و کلر در اثر کانه‌زایی [۲] و [۳] مقدار عناصر قلیایی ( $\text{Na}^+$  و  $\text{K}^+$ ). از طرفی به طور تجربی ثابت شده است که، اکسیداسیون مولیبدنیت با افزایش  $\text{pH}$  زیاد می‌شود. تا این‌که در  $\text{pH}$  حدود ۱۰ به حد ماکزیمم خود می‌رسد [۲]. در محاسبات انجام شده نسبت  $\text{K}/\text{Na}$  تقریباً  $0.2/0.2$  به دست

با توجه به مطالعات ایزوتوبی و مطالعات مربوط به سیالات در گیر موجود در رگه‌چهای گروه یک، کانسار مس پورفیری سرچشمه به لحاظ محیط فیزیکوشیمیایی و شرایط لازم جهت تنشست مولیبدنیت تقریباً شبیه مدل ارائه شده توسط هزارخانی و همکارانش [۳۰] برای کانسار مس پورفیری سونگون می‌باشد (شکل ۱۱). این مدل به وسیله اهمیت تأثیر عوامل فیزیکوشیمیایی بروی کانه‌زایی و دگرسانی و همچنین اطلاعات ترمودینامیک کانه‌ها، کانیهای گانگ و گونه‌های آبدار به وسیله برنامه SUPCRT 92 تعیین شده و سایر اطلاعات به طور فرضی بیان شده است. عامل مهمی که معمولاً در تولید یک محیط فیزیکوشیمیایی مناسب جهت کانه‌زایی سولفیدی مس در گیر هستند شامل دما،  $\text{pH}$ ، فوگاسیته اکسیژن، فوگاسیته گوگرد و اکتیویته  $\text{Cl}^-$  است. همچنین رگه‌چهای گروه یک در سونگون همانند رگه‌چهای گروه یک در سرچشمه دارای مقدار زیادی مولیبدن هستند و در دمایی تقریباً مشابه با رگه‌چهای گروه یک در سرچشمه تشکیل شده‌اند. دما برای مراحل اولیه و واپسین دگرسانی و کانه‌زایی به وسیله اطلاعات حاصل از مطالعه سیالات در گیر

میانگین شوری معادل ۵ درصد وزنی معادل نمک طعام است، که این دما و شوری معرف یک سیال جوی بوده که رگه‌چهای گروه چهار را تحت تأثیر قرار داده و باعث ایجاد دگرسانی پرپلیتیک در سنگهای میزبان شده است. همچنین حضور سیالات درگیر اشباع از  $\text{NaCl}$  به همراه سیالات درگیر غنی از گاز به خصوص در رگه‌چهای گروه یک می‌تواند شواهدی از وقوع جوشش در سیالات کانساز کانسار مس پورفیری سرچشم باشد. با توجه به شرایط فیزیکوشیمیایی، مولیبدنیت در رگه‌چهای گروه یک معدن سرچشم احتمالاً زمانی تهنشست پیدا می‌کند، که دما تقریباً از ۵۱۰ به ۴۶۰ درجه سانتی‌گراد کاهش یابد. در نتیجه همان‌طور که از شواهد بر می‌آید مولیبدنیت بیشتر در دماهای بالا،  $\text{pH}$ های خنثی تا اسیدی و در قسمتهای عمقی کانسار مس پورفیری سرچشم و کانسارهای مشابه تشکیل می‌شود و مهمترین عواملی که در این شرایط بروی تهنشستی آن تأثیرگذار است عبارتنداز: (۱) افزایش غلظت سولفور (۲) کاهش غلظت فلور و (۳) مقدار عنصر قلیایی ( $\text{Na} + \text{K}$ ).

#### تشکر و قدردانی

از شرکت ملی صنایع مس ایران به خاطر پشتیبانی در انجام این کار تحقیقاتی سپاس‌گزاری می‌شود. از مدیران و کارشناسان امور تحقیق و توسعه مجتمع مس سرچشم، به ویژه خانم مهندس حسینی برای همکاری و تلاش‌های بی‌دریغشان تشکر و قدردانی می‌شود. از امور معدن مجتمع مس سرچشم هم برای کمک در عملیات صحرایی تشکر می‌شود. از دکتر کورت کایزر در دانشگاه کوئینز کانادا تشکر می‌شود که در انجام آنالیزهای ایزوتوپی از محققان حمایت کرددند.

#### منابع

[۱] صالحی ده، "بررسی ژئوشیمیایی زون‌های آلتره در معدن مس سرچشم و تأثیر معدن‌کاری در پراکنش و انحلال پذیری فلزات سنگین"، پایان‌نامه کارشناسی ارشد، دانشگاه اصفهان (۱۳۸۳) ۱۸۰ ص.

[۲] امین‌زاده ب، "مطالعه کانی‌شناسی و ژئوشیمی سیالات درگیر در ارتباط با کانسارسازی مولیبدن در معدن مس سرچشم و کاربرد آن در بازیابی موثر مولیبدن"، پایان‌نامه

آمده است [۴]، که این مقدار به کمک آنالیزهای میکروترموتری سیالات درگیر حاوی هالیت به اثبات رسیده است. حضور انیدریت را در این محیط می‌توان از طریق هیدرولیز  $\text{SO}_2$  در طول سردشدنی توضیح داد [۴]. عدمای معتقدند که تفکیک  $\text{SO}_2$  در نزدیکی دمای ۴۰۰ درجه سانتی‌گراد رخ می‌دهد [۳۱]، که یک منبع احتمالی برای سولفید (مولیبدنیت، پیریت و کالکوپیریت) و سولفات (انیدریت) است.

#### برداشت

مقادیر  $\delta^{34}\text{S}$  در سولفیدها و سولفات‌های موجود در رگه‌چهای حاصل از دگرسانیهای مختلف در گستره ۲/۲ - ۱/۲۷ تا ۱۴/۵ در هزار برای سولفیدها و ۱۰/۲ تا ۱۳ در هزار برای سولفات‌ها قرار می‌گیرد. لذا میانگین یا مقدار متوسط  $\delta^{34}\text{S}$  در سولفیدهای کانسار مس پورفیری سرچشم کمتر از یک در هزار بوده و برای سولفات‌ها تقریباً ۱۳ در هزار است. این مقدار اشاره به این دارد که سولفیدها به وسیله سیالات گوگرددار مشتق شده از منابع ماقمایی تشکیل شده‌اند. در نتیجه گوگرد ممکن است از یکی از این دو منبع حاصل شده باشد: یا مستقیماً از ذوب بخشی که سیال ماقمایی را تولید کرده و یا به واسطه انحلال و آب‌شویی منابع آذرین سولفیددار پیشین ایجاد شده است. با توجه به مطالعات سیالات درگیر مربوط به گروههای رگه‌چهای مختلف در کانسار سرچشم می‌توان نتیجه گرفت که کانسارسازی و دگرسانی در طی سه مرحله صورت گرفته است:

(۱) سیالات درگیر موجود در رگه‌چهای گروه یک با دمای همگن‌شدن ۳۵۰ تا بالای ۴۸۰ درجه سانتی‌گراد و میانگین شوری بیش از ۴۰ درصد وزنی معادل نمک طعام، که این شرایط معرف یک سیال ماقمایی بوده و باعث تشکیل دگرسانی پتابسیک شده است.

(۲) دمای همگن‌شدن و میانگین شوری اکثر سیالات درگیر موجود در گروههای رگه‌چهای دو و سه به ترتیب بین ۲۵۰ تا ۳۵۰ درجه سانتی‌گراد و ۵ تا ۱۰ درصد وزنی معادل نمک طعام می‌باشد، که این شرایط معرف اختلاط سیال ماقمایی با یک سیال با شوری و دمای کمتر (یک سیال جوی) است، که باعث تغییر در رفتار سیال و ایجاد دگرسانی فیلیک شده است.

(۳) سیالات درگیر موجود در رگه‌چهای گروه چهار دارای دمای همگن‌شدن بین ۱۹۰ تا ۲۸۰ درجه سانتی‌گراد و

- vapour-saturated liquids above 445 °C and redetermination of phase equilibrium properties in the system NaCl–H<sub>2</sub>O to 1000 °C and 1500 bars", *Geochimica et Cosmochimica Acta* 51 (1987) 1965–1975.
- [16] Kerkhof A. M. V., Hein U. F., "Fluid inclusion petrography", *Lithos* 55 (2001) 27–47.
- [17] Borinseko A. S., "Study of the salt composition of solution in gas-liquid inclusions in mineral by the cryometric method", *Soviet Geol. and Geographys* 18 (1977) 11–19.
- [18] Nast H. J., Williams-Jones A. E., "The role of water–rock interaction and fluid evolution in forming the porphyry-related Sisson Brook W–Cu–Mo deposit, New Brunswick", *Economic Geology* 86 (1991) 302–317.
- [19] Roedder E., Bodnar R. J., "Geologic pressure determinations from fluid inclusion studies", *Earth Planet Science* 8 (1980) 263–310.
- [20] Shepherd T., Rankin A. H., Alderton D. H. M., "A Practical Guide to Fluid Inclusion Studies", Blackie (1985) 239.
- [21] Ohmoto H., "Systematics of sulfur and carbon isotopes in hydrothermal ore deposits", *Economic Geology* 67 (1972) 551–579.
- [22] Rollinson H. R., "Using geochemical data", Longman Scientific and Technical (1993) 384.
- [23] Chaussidon M., Lorand J. P., "Sulphur isotope composition spinel lerzolite massifs from Ariège (N.E. Pyrenees, France): An ion microprobe study", *Geochimical et Cosmochimical* 54 (1990) 2835–2846.
- [24] Hoefs J., "Stable isotope geochemistry", Springer Verlag, Berlin, 5th edition (2004) 244.
- [25] Calagari A. A., "Stable isotope (S, O, H and C) studies of the phyllitic and potassio-phyllitic alteration zones of the porphyry copper deposit at Sungun, East Azarbaijan, Iran", *Journal of Asian Earth Sciences* 21 (2003) 767–780.
- [26] Ohmoto H., "Stable isotope geochemistry of ore deposits", *Mineralogical Society of America* 16 (1986) 491–570.
- [27] Ohmoto H., Rye R. O., "Isotopes of sulfur and carbon: in H.L. Barnes ed", *Geochemistry of Hydrothermal Ore Deposits*, Second Edition: John Wiley & Sons (1979) 509–567.
- [28] Ohmoto H., Lasaga A. C., "Kinetics of reactions between aqueous sulphates and sulphides in hydrothermal systems", *Geochimical et Cosmochimical* 46 (1982) 1727–1745.
- کارشناسی ارشد زمین‌شناسی اقتصادی، دانشگاه شهید باهنر کرمان (۱۳۸۵) ۱۱۲ ص.
- [۳] صفاری م. م., "بررسی توزیع و تمرکز عنصر کمیاب و گرانبها و عوامل کنترل کننده آنها در کانسار مس پورفیری سرچشمہ (کرمان)", پایان نامه کارشناسی ارشد زمین‌شناسی اقتصادی، دانشگاه شهید بهشتی (۱۳۷۷) ۱۰۰ ص.
- [4] Hezarkhani A., "Hydrothermal evolutions at the Sar-Cheshmeh porphyry Cu–Mo deposit, Iran: evidence from fluid inclusions", *Journal of Asian Earth Sciences* 28 (2006) 408–422.
- [5] Forster H., "Mesozoic-Cenozoic metallogenesis in Iran", *Jnl. Geology. Soc. London* 135 (1978) 443–455.
- [6] Etminan H., "Le porphyry cuprifère de Sarcheshmeh Rol des phases fluide les mecanismes alteration et de mineralization", *Iran Geology. Survey* (1977) 242.
- [7] Shahabpour J., "Aspects of alteration and mineralization at the Sarcheshmeh copper – molybdenum deposit. Kerman, Iran", Unpub Ph.D. thesis., Leeds University (1982) 342.
- [8] Emami H., "Geology of the Sar-Cheshmeh Copper Deposit: Internal Reports", Sar-Cheshmeh Copper Company (1992).
- [9] Waterman G. C., Hamilton R., "The sarcheshmeh porphyry copper deposit", *Economic Geology* 70 (1975) 568–576.
- [10] Bazin D., Hubner H., "La region cuprifère a gisements porphyriques de Kerman (Iran)", *Mineral Deposita* 4 (1969) 200–211.
- [11] Bodnar R. J., "Fluid-inclusion evidence for a magmatic source for metals in porphyry copper deposits", In: Thompson, J.F.H. Ed., *Magmas, Fluids, and Ore Deposits*. Mineral. Assoc. Can., Short Course Series 23 (1995) 139–152.
- [12] Wilkinson J. J., "Fluid inclusions in hydrothermal ore deposits", *Lithos* 55 (2001) 229–272.
- [13] Roedder E., "Fluid inclusions. Mineralogical Society of America", *Reviews in Mineralogy* 12 (1984) 644.
- [14] Bodnar R. J., Vityk M.O., "Interpretation of micro thermometric data for H<sub>2</sub>O-NaCl fluid inclusions", In fluid inclusions in Minerals, Methods and Applications, B.De Vivo and M.L. Frezzotti, eds., pub, by Virginia Tech, Blacksburg, Va (1994) 117–130.
- [15] Chou I. M., "Phase relations in the system NaCl–KCl–H<sub>2</sub>O. III: solubilities of halite in

- W.R., Payne, W.D. (Eds.), Relations of Tectonics to OreDeposits in the Southern Cordillera., Arizona Geological SocietyDigest, Arizona 14 (1981) 71-77.
- [32] Dimitrijevic M. D., Dimitrijevic M. N., Djordjevic M., Vulovic D., "Geological Survey of Iran, 1:100,000 series", sheet 7149, Pariz, (1971).
- [33] Li Y. B., Liu J. M., "Calculation of sulfur isotope fractionation in sulfides", Geochimica et Cosmochimica Acta 70 (2006) 1789-1795.

- [29] Field C. W., Gustafson L. B., "Sulfur isotopes in the porphyry deposits at El Salvador, Chile", Economic Geology 71 (1976) 1533-1548.
- [30] Hezarkhani A., Williams-Jones A. E., Gammons C. H., "Factors controlling copper solubility and chalcopyrite deposition in the Sungun porphyry copper deposit, Iran", Mineralium Deposita 34 (1999) 770-783.
- [31] Burnham C. W., "Physiochemical constraints on porphyry mineralization", In: Dickenson,